

2024-2025学年 秋学期

现代控制理论

Modern Control Theory

学在浙大 <http://course.zju.edu.cn>
用自己的浙大通行证账号登录

主讲：吴俊 徐巍华



CONTROL SCIENCE AND ENGINEERING

SINCE 1956



第7章 线性离散时间控制系统分析与综合

徐巍华

浙江大学智能系统与控制研究所

玉泉校区教十八235室

whxu@zju.edu.cn

13600549753



7-5 离散系统的稳定性与稳态误差

- S域到Z域的映射
- 稳定性
- 稳态误差



S域到z域的映射



$$z = e^{Ts} = e^{T(\sigma + j\omega)} = e^{\sigma T} e^{j\omega T} = e^{\sigma T} e^{j2\pi\omega/\omega_s}$$

$$|z| = e^{\sigma T}, \quad \angle z = \omega T$$

- ✓ s平面上的**多值**，映射为z平面上的**单值**；
- ✓ s平面上的**带域**，映射为z平面上的**圆域**；
- ✓ s平面上的**虚轴**，映射为z平面上的**单位圆**；
- ✓ s平面上的**左半平面**，映射为z平面上的**单位圆内**。



- **离散系统稳定的定义**: 若离散系统在**有界输入序列**作用下, 其**输出序列也是有界的**, 则称该离散系统是稳定的。

连续系统稳定的充要条件:

闭环系统的特征根均位于**s平面的左半平面**;

离散控制系统稳定的充要条件:

闭环系统的特征根均位于**z平面的单位圆之内**;

推论1: 若有一个或一个以上的闭环特征根在单位圆外, 系统就不稳定;

推论2: 若有一个或一个以上的闭环特征根在单位圆上时, 系统就处于临界稳定。



稳定性分析方法



A

直接求特征根

B

Z域:

根轨迹

C

W域:

w变换+劳斯稳定判据

w变换+根轨迹

D

Z域:

朱利稳定判据

z - w 变换 (双线性变换)

连续系统 \longleftrightarrow 劳斯判据：特征根在s左半平面

离散系统 \longleftrightarrow 特征根在z平面单位圆内部

z平面单位圆内 \longleftrightarrow s左半平面

即：必须寻求一种变换，使z平面上单位圆内映射到一个新平面的虚轴之左，我们称该新平面为w平面。

根据双线性变换

$$z = \frac{w + 1}{w - 1} \quad \text{或} \quad w = \frac{z + 1}{z - 1}$$

令

$$z = x + jy \quad w = u + jv$$

则

$$w = u + jv = \frac{(x^2 + y^2) - 1}{(x - 1)^2 + y^2} - j \frac{2y}{(x - 1)^2 + y^2}$$

当: $x^2 + y^2 = 1$ (z平面的单位圆方程)

$$w = -j \frac{2y}{(x - 1)^2 + y^2}$$

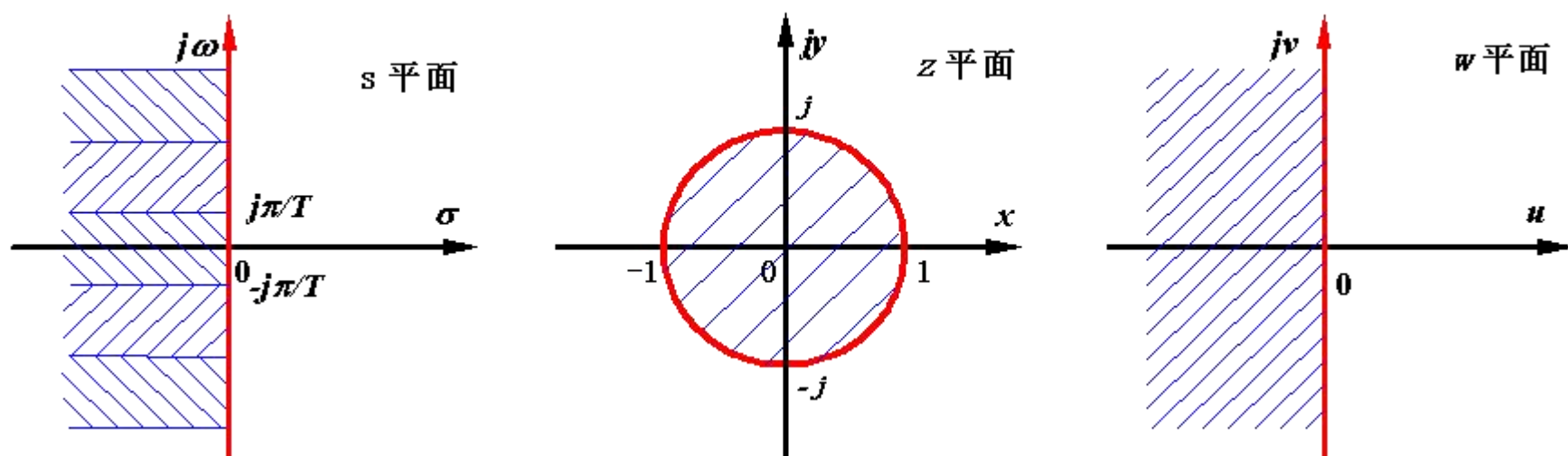
即: z平面的单位圆上的点对应于w平面虚轴

当: $x^2 + y^2 < 1$ (z平面的单位圆内部)

$$\operatorname{Re} w = u < 0$$

即: z平面的单位圆内的点对应于w平面左半平面

s 平面、 z 平面、 w 平面的映射关系



由双线性变换，可以直接应用劳斯判据判别系统的稳定性。

例 设采样控制系统的特征方程为

$$D(z) = 45z^3 - 117z^2 + 119z - 39 = 0$$

试用劳斯判据判别稳定性。

解：因为

$$z = \frac{w+1}{w-1}$$

代入特征多项式中，有

$$45\left(\frac{w+1}{w-1}\right)^3 - 117\left(\frac{w+1}{w-1}\right)^2 + 119\left(\frac{w+1}{w-1}\right) - 39 = 0$$

化简得

$$w^3 + 2w^2 + 2w + 40 = 0$$

列劳斯表

w^3	1	2
w^2	2	40
w^1	-18	
w^0	40	

由于第一列元素的符号有两次改变，则有两个根在右半平面 (**w域**)，即有两个根处于平面单位圆外 (**z域**)，故该系统不稳定。

例 设采样控制系统的特征方程为

$$D(z) = 45z^3 - 117z^2 + 119z - 39 = 0$$

试判别稳定性。

解：

```
>>c=[45 -117 119 -39];  
>> roots(c)
```

```
ans =
```

```
1.0000 + 0.6667i  
1.0000 - 0.6667i  
0.6000 + 0.0000i
```



稳态误差

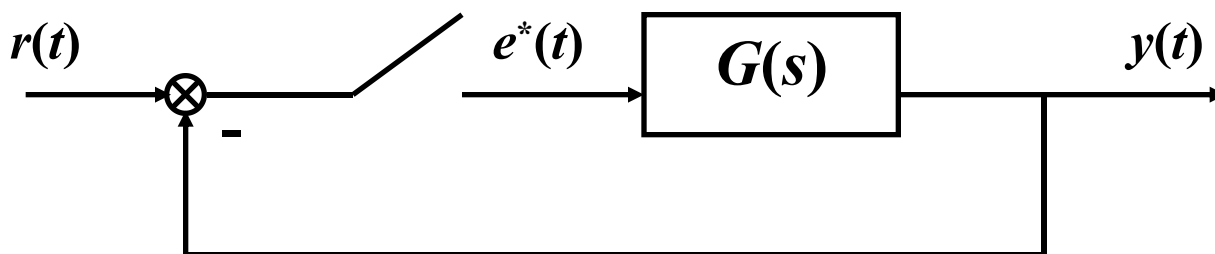


- **稳态误差系数**表明了系统在稳态时输出**跟踪**给定类型输入的情况..

如图所示**稳定的**单位负反馈系统 (与连续系统类似)

可以很容易得到**误差脉冲传递函数**

$$G_e(z) = \frac{E(z)}{R(z)} = \frac{1}{1 + G(z)}$$



$$e(\infty) = \lim_{t \rightarrow \infty} e(t) = \lim_{z \rightarrow 1} (z - 1) \frac{1}{1 + G(z)} R(z)$$

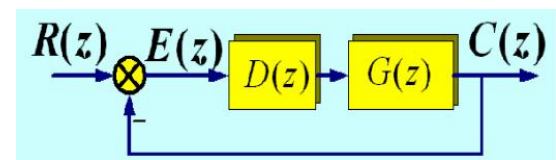
与连续系统类似，根据系统**开环脉冲传递函数**在 **$z=1$** 的极点的个数而分为0型、1型、2型.....系统。



1. 指令信号作用下的离散系统稳态误差

- (1) 输入信号为单位阶跃函数
- (2) 输入信号为单位斜坡信号
- (3) 输入信号为单位加速度信号

2. 干扰作用下的离散系统稳态误差



离散及连续系统稳态误差系数

误差系数	连续系统	离散系统
K_p	$\lim_{s \rightarrow 0} D(s)G(s)$	$\lim_{z \rightarrow 1} D(z)G(z)$
K_v	$\lim_{s \rightarrow 0} sD(s)G(s)$	$\frac{1}{T} \lim_{z \rightarrow 1} (z-1)D(z)G(z)$
K_a	$\lim_{s \rightarrow 0} s^2 D(s)G(s)$	$\frac{1}{T^2} \lim_{z \rightarrow 1} (z-1)^2 D(z)G(z)$

离散系统稳态误差

e_{ss}^*	$r(t) = 1(t)$	$r(t) = t$	$r(t) = \frac{1}{2}t^2$
0 型系统	$1/(1+K_p)$	∞	∞
I 型系统	0	$1/K_v$	∞
II 型系统	0	0	$1/K_a$



主要内容



- 基本概念
- 信号的采样与保持
- Z变换
- 离散系统的数学模型
- 离散系统的稳定性与稳态误差
- **离散系统的动态性能分析**
- 离散系统的数字校正



回顾：连续系统的动态性能分析



• 时域

• 典型输入信号

• 时间响应

• 微分方程求解

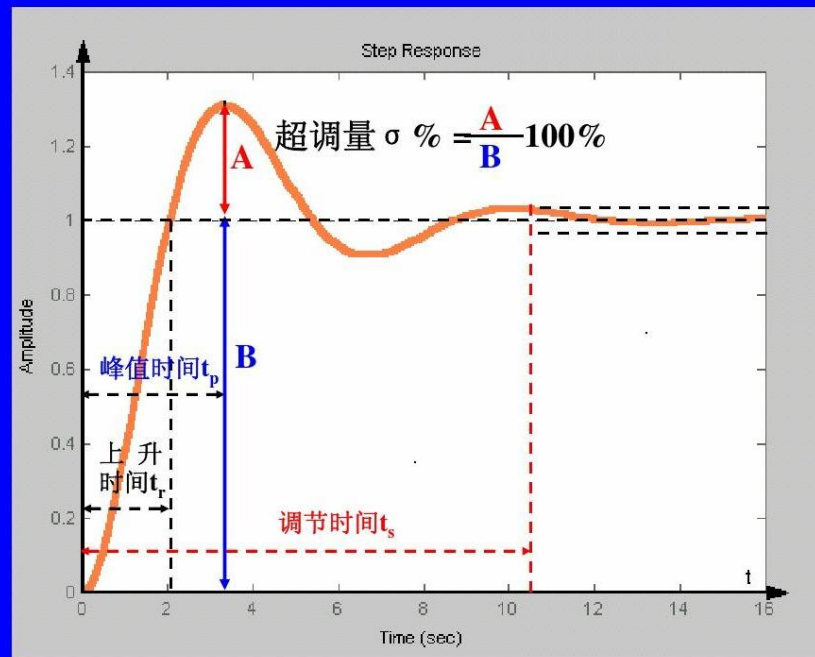
• 经典/拉氏变换

• 时域性能指标

• 基于系统单位阶跃响应（过渡过程）给出的反映系统动态性能指标--- T_r , T_p , σ , T_s , T_d , n , e_{ss}

• 基于误差计算的性能指标--- ISE , $ITSE$, IAE , $ITAE$

动态性能指标定义1



• 频域

• 谐振峰值，谐振频率，频带宽度，系统带宽.....



若离散控制系统的闭环脉冲传递函数为 $\Phi(z)$

则**系统对单位阶跃输入**的输出响应为 $R(z)=z/(z-1)$

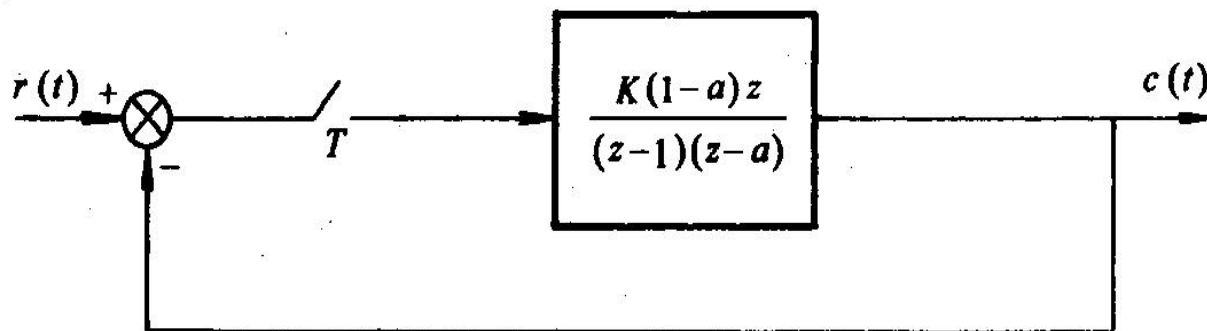
$$C(z) = \frac{\Phi(z)}{1 - z^{-1}}$$

应用长除法，将分子分母相除，再用 z 反变换，即可得输出信号的脉冲序列 $C^*(t)$ 。

$C^*(t)$ 代表线性定常离散系统在单位阶跃输入作用下的响应过程

对一个稳定性较好的系统，过渡过程在有限个采样周期结束，故只需相除前几项，就能求得 t_s 、 σ 等指标。

例 求下图所示系统的 t_s 、 σ 近似值。已知 $K=2$, $a=0.368$, $T=0.1s$ 。



解

$$G(z) = \frac{K(1-a)z}{(z-1)(z-a)} = \frac{2(1-0.368)z}{(z-1)(z-0.368)} = \frac{1.264z}{z^2 - 1.368z + 0.368}$$

闭环脉冲传递函数为

$$\Phi(z) = \frac{G(z)}{1 + G(z)} = \frac{1.264z}{z^2 - 0.104z + 0.368}$$

系统的单位阶跃响应为

$$C(z) = \frac{\Phi(z)}{1 - z^{-1}} = \frac{1.264z}{(1 - z^{-1})(z^2 - 0.104z + 0.368)}$$

$$C(z) = \frac{\Phi(z)}{1 - z^{-1}} = \frac{1.264z}{(1 - z^{-1})(z^2 - 0.104z + 0.368)}$$

$$= \frac{1.264z^2}{z^3 - 1.104z^2 + 0.472z - 0.368}$$

将分子分母相除，可得

$$C(z) = 1.264z^{-1} + 1.369z^{-2} + 0.945z^{-3} + 0.851z^{-4}$$

$$+ 1.008z^{-5} + 1.106z^{-6} + \dots$$

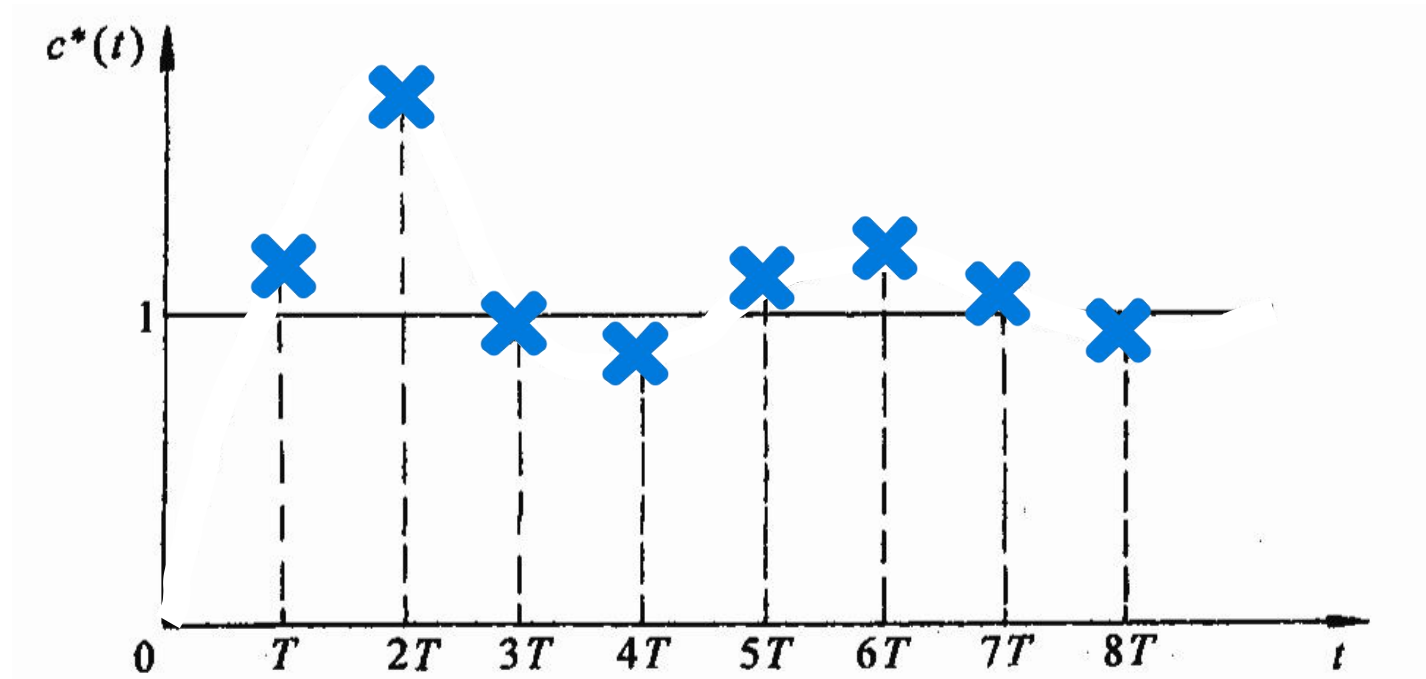
因此采样输出为

$$c^*(t) = 1.264\delta(t - T) + 1.396\delta(t - 2T) + 0.945\delta(t - 3T)$$

$$+ 0.851\delta(t - 4T) + 1.008\delta(t - 5T) + 1.106\delta(t - 6T) + \dots$$

圆滑连接图中各点，便得到了系统输出响应曲线 $c(t)$ 的大致波形

$$c^*(t) = 1.264\delta(t - T) + 1.396\delta(t - 2T) + 0.945\delta(t - 3T) \\ + 0.851\delta(t - 4T) + 1.008\delta(t - 5T) + 1.106\delta(t - 6T) + \dots$$



由该波形曲线可得

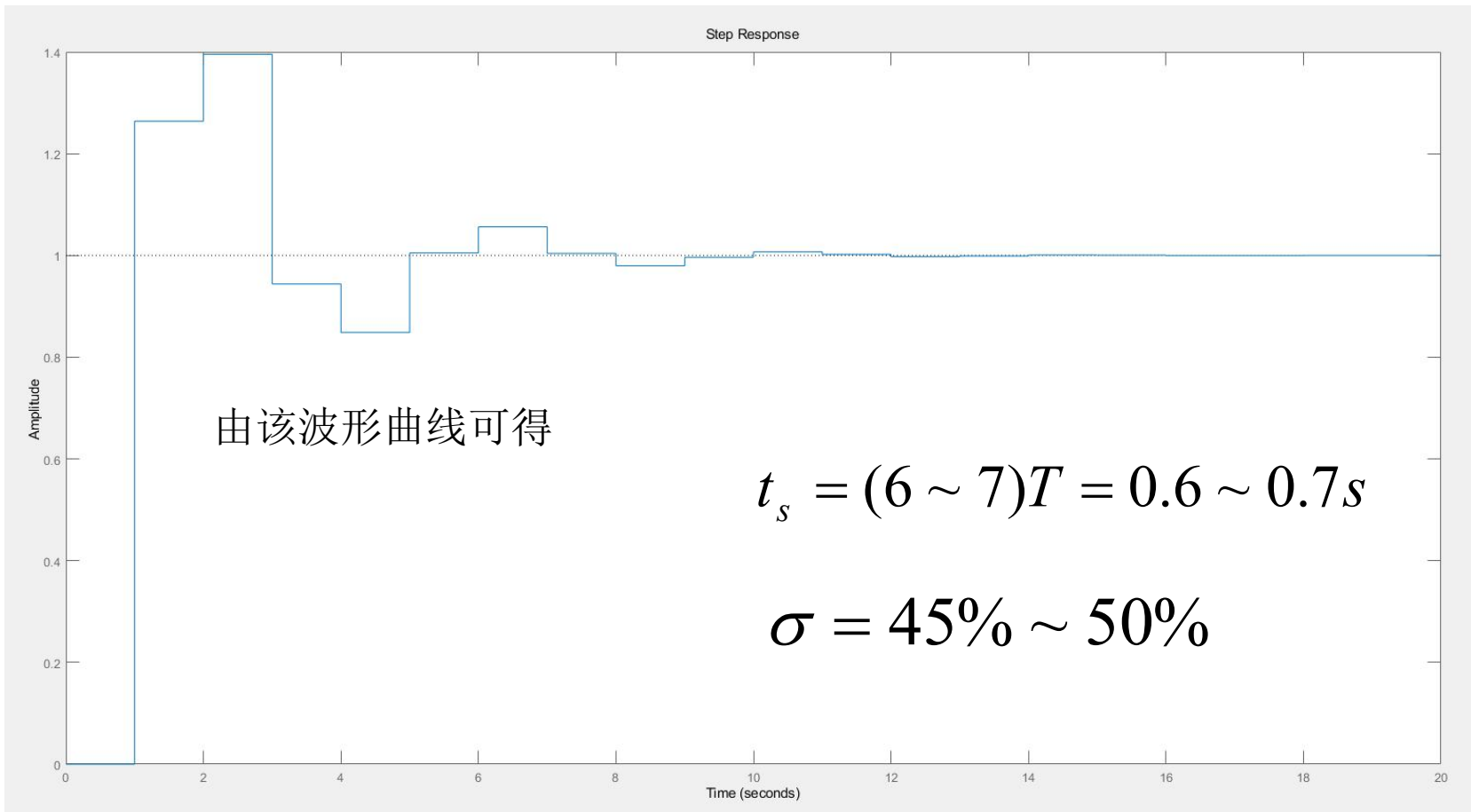
$$t_s = (6 \sim 7)T = 0.6 \sim 0.7s$$

$$\sigma = 45\% \sim 50\%$$

dstep(NUM,DEN) plots the step response of the polynomial transfer function $G(z) = \text{NUM}(z)/\text{DEN}(z)$ where NUM and DEN contain the polynomial coefficients in descending powers of z .

$$\Phi(z) = \frac{G(z)}{1 + G(z)} = \frac{1.264 z}{z^2 - 0.104 z + 0.368}$$

```
>> num=[1.264 0];  
>> den=[1 -0.104 0.368];  
>> dstep(num,den)
```



单位脉冲响应

impulse - Impulse response plot of dynamic system;

dimpulse - Impulse response of discrete-time linear systems.

单位阶跃响应

step - Step response plot of dynamic system;

dstep - Step response of discrete-time linear systems.

任意输入响应

lsim - Plot simulated time response of dynamic system to arbitrary inputs

dlsim - Simulation of discrete-time linear systems.

零输入响应

initial - Initial condition response of state-space model

dinitial - Initial condition response of discrete-time linear systems.

impulse
step
lsim
initial



离散系统的时间响应



➤ 离散系统的时间响应



$$\Phi(z) = \frac{C(z)}{R(z)}$$

$$R(z) = \frac{z}{z-1}$$

$$C(z) = \frac{z}{z-1} \Phi(z) \quad c^*(t)$$

$c^*(t)$ 代表线性定常离散系统在单位阶跃输入下的响应过程

离散系统时域指标的定义与连续系统相同

可以根据单位阶跃响应曲线方便地分析离散系统的动态和稳态性能



瞬态响应



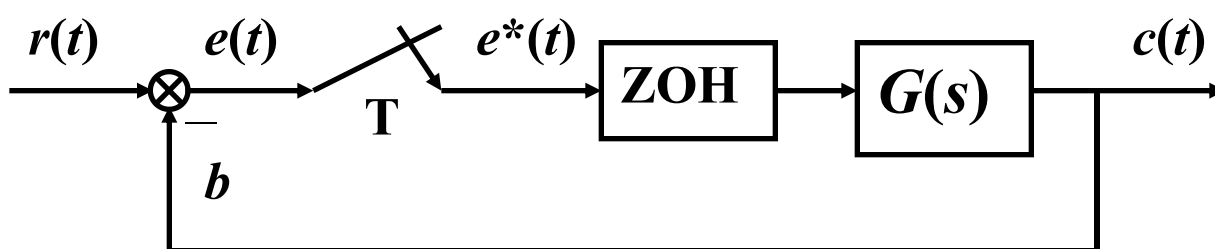
离散系统的时间响应

闭环脉冲传递函数

输出Z变换

输出脉冲序列

例



$$G(s) = \frac{1}{s(s+1)}$$

采样周期 $T=1$

开环脉冲传递函数 ($T=1$) :

$$G(z) = \frac{0.368z + 0.264}{(z-1)(z-0.368)}$$

闭环系统脉冲传递函数 ($T=1$) :

$$\phi(z) = \frac{G(z)}{1+G(z)} = \frac{0.368z + 0.264}{z^2 - z + 0.632}$$

单位阶跃响应:

$$C(z) = 0.368z^{-1} + z^{-2} + 1.4z^{-3} + 1.4z^{-4} + 1.147z^{-5} + \dots$$

单位阶跃响应:

$$C(z) = 0.368z^{-1} + z^{-2} + 1.4z^{-3} + 1.4z^{-4} + 1.147z^{-5} + \dots$$

$$\therefore c(0) = 0$$

$$c(1) = 0.3678$$

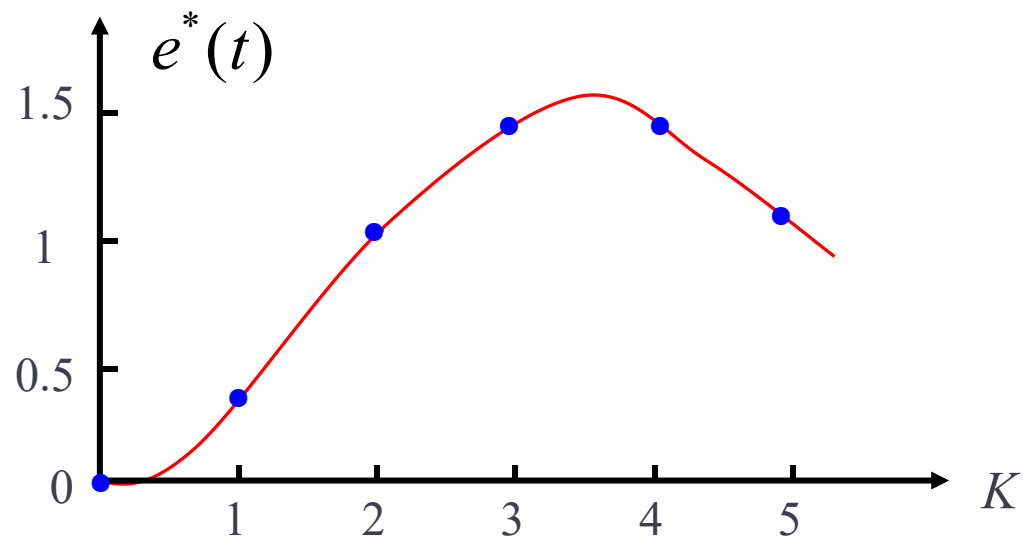
$$c(2) = 1$$

$$c(3) = 1.4$$

$$c(4) = 1.4$$

$$c(5) = 1.147$$

\vdots



响应曲线

$$\phi(z) = \frac{G(z)}{1 + G(z)} = \frac{0.368z + 0.264}{z^2 - z + 0.632}$$

$$\therefore c(0) = 0$$

$$c(1) = 0.3678$$

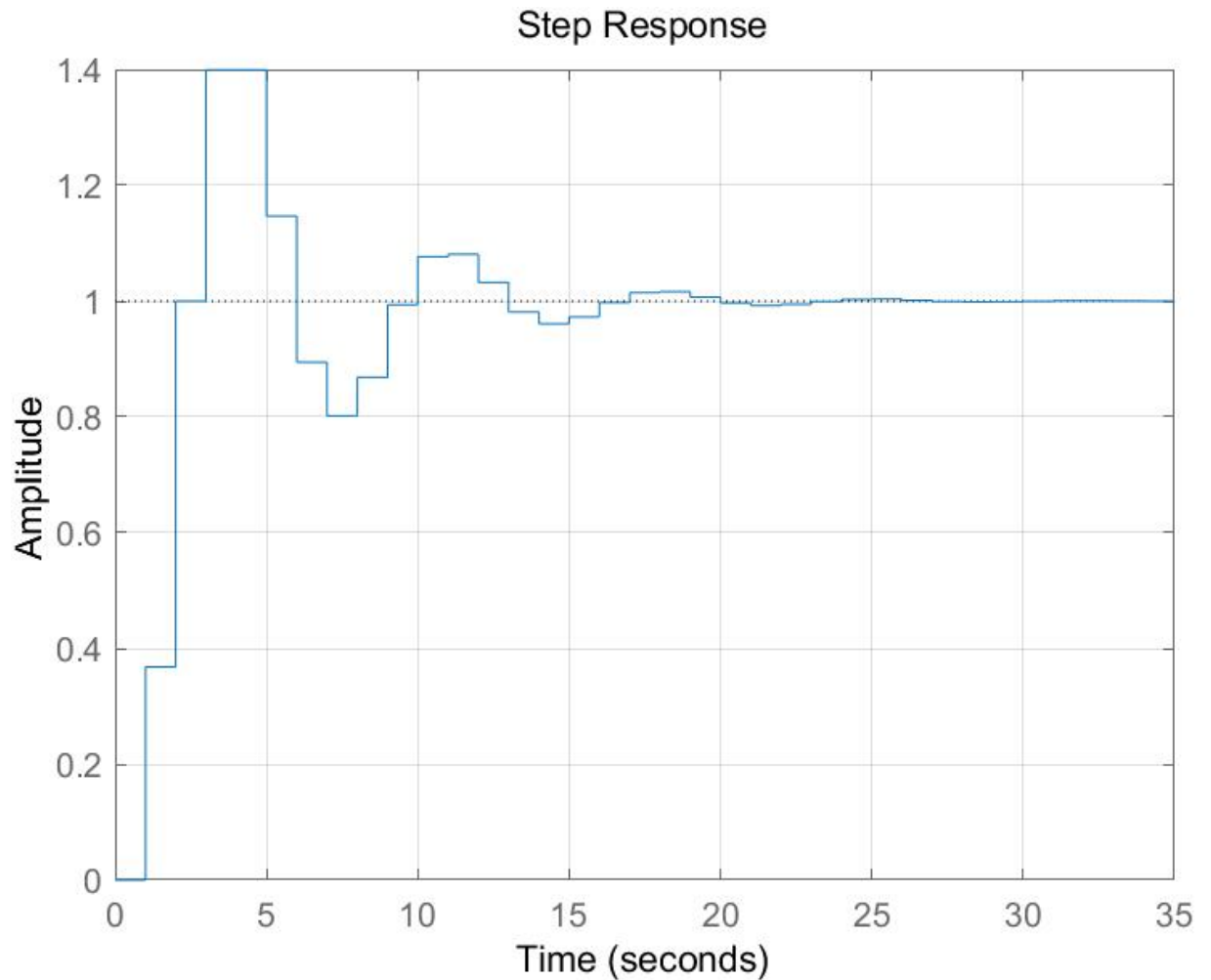
$$c(2) = 1$$

$$c(3) = 1.4$$

$$c(4) = 1.4$$

$$c(5) = 1.147$$

\vdots

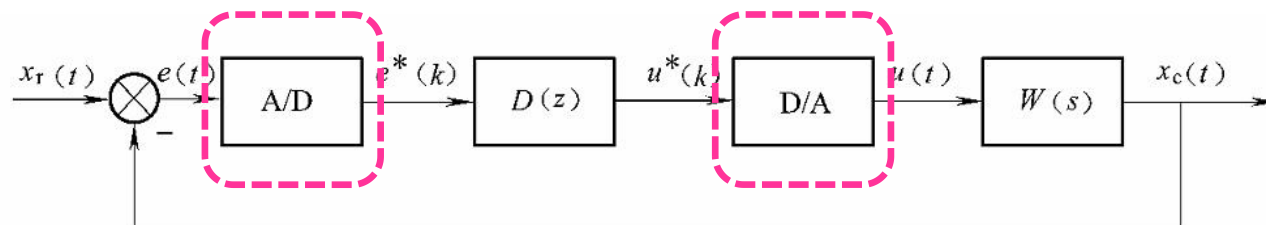
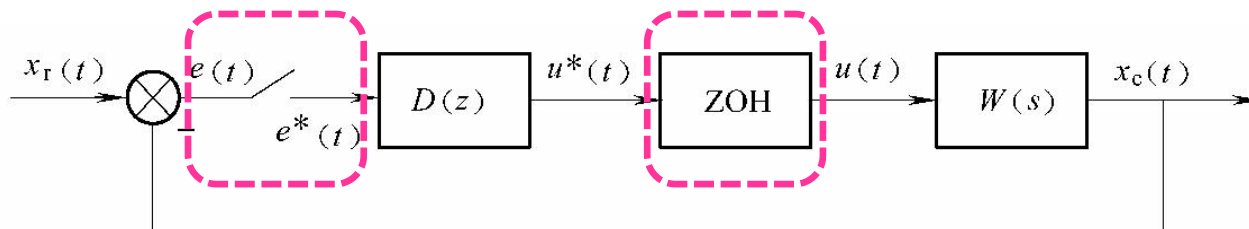
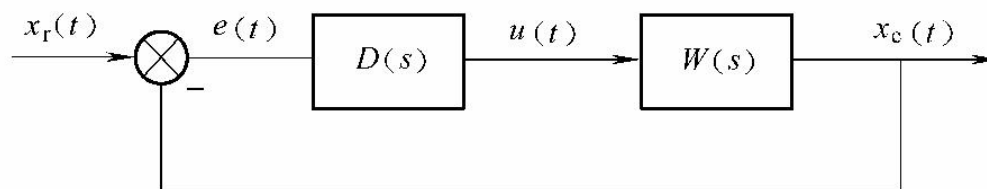




➤ 采样器和保持器对动态性能的影响

● 自动控制系统按照**信号形式**可分为三种类型

- 连续控制系统
- 采样控制系统
- 数字控制系统





瞬态响应

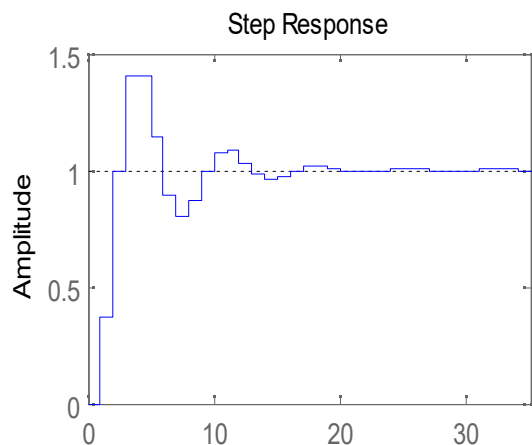
➤ 采样器和保持器对动态性能的影响

$$G(s) = \frac{1}{s(s+1)}$$

有保持器的采样系统

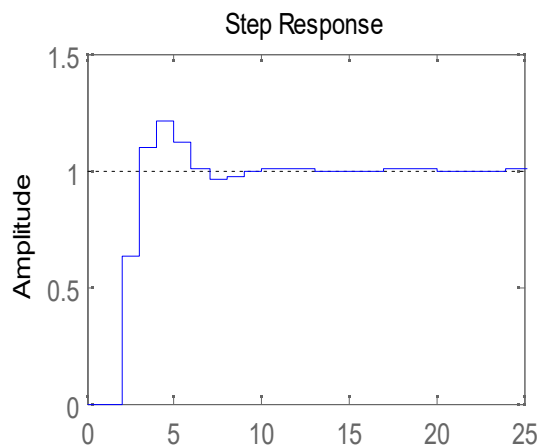
$$G(z) = \frac{C(z)}{E(z)} = Z\left\{\frac{1-e^{-Ts}}{s} \frac{1}{s(s+1)}\right\} = \frac{0.368(z+0.717)}{(z-1)(z-0.368)}$$

$$\phi(z) = \frac{0.368z + 0.264}{z^2 - z + 0.632}$$



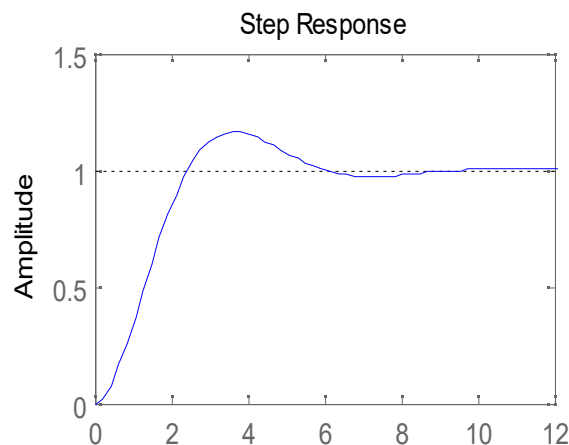
无保持器的采样系统

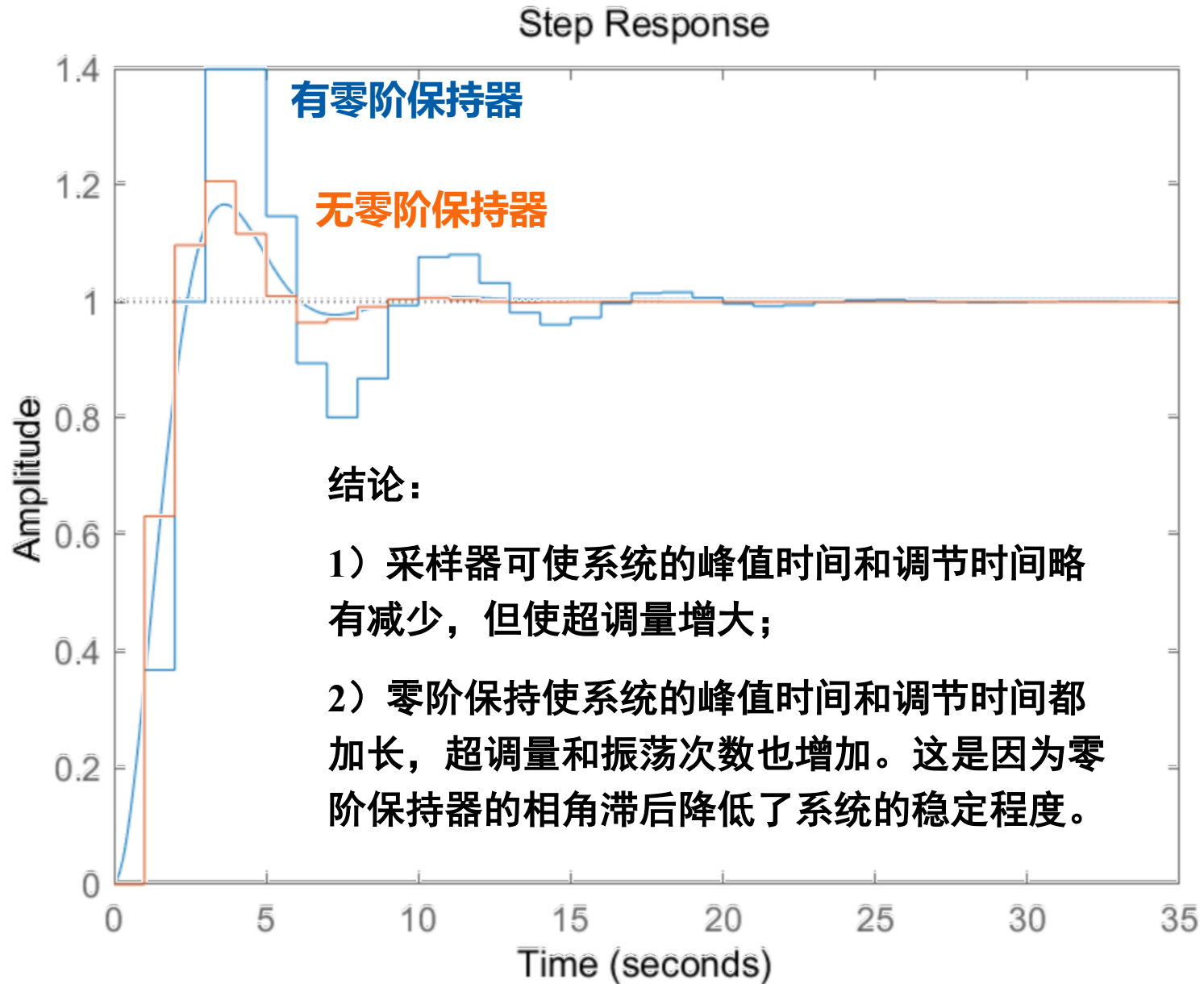
$$\phi(z) = \frac{0.632z}{z^2 - 0.736z + 0.368}$$



连续系统

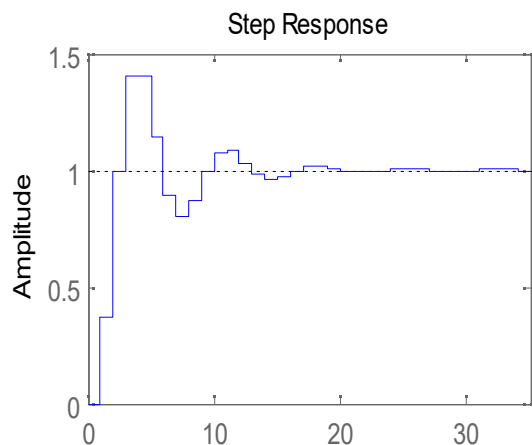
$$\phi(s) = \frac{1}{s^2 + s + 1}$$



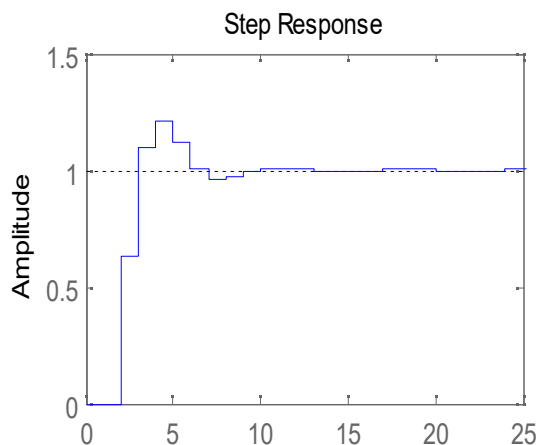




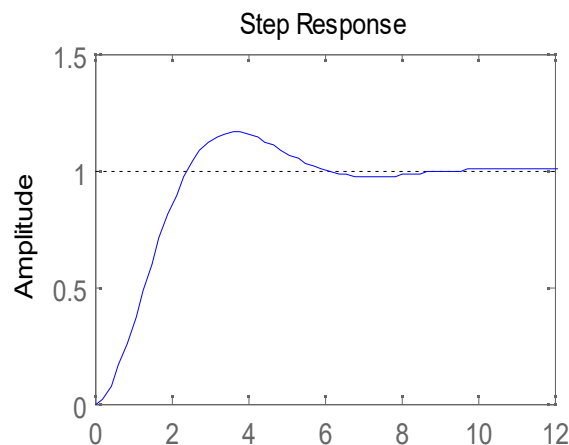
瞬态响应



有保持器的采样系统



无保持器的采样系统



连续系统

结论：

- 1) 采样器可使系统的峰值时间和调节时间略有减少，但使超调量增大；
- 2) 零阶保持使系统的峰值时间和调节时间都加长，超调量和振荡次数也增加。这是因为零阶保持器的相角滞后降低了系统的稳定程度。



通常离散控制系统的闭环脉冲传递函数可表示为（设系统无重极点）

$$G_B(z) = \frac{C(z)}{R(z)} = \frac{K \prod_{i=1}^m (z - z_i)}{\prod_{k=1}^n (z - P_k)}$$

当系统输入 $r(t)$ 为单位阶跃时，
其系统输出的Z变换 $C(z)$ 为

$$C(z) = K \frac{\prod_{i=1}^m (z - z_i)}{\prod_{k=1}^n (z - P_k)} \cdot \frac{z}{z-1}$$

展开成部分分式，有

$$C(z) = \frac{C(1)}{R(1)} \cdot \frac{z}{z-1} + \sum_{k=1}^n \frac{C_k z}{z - P_k}$$

其中，各分式的系数 C_k 可用留数法求取

$$C_k = \lim_{z \rightarrow P_k} K \frac{\prod_{i=1}^m (z - z_i)}{\prod_{\substack{j=1 \\ j \neq k}}^n (z - P_j)} \cdot \frac{1}{z-1}$$

$c^*(t)$ 的稳态部分



瞬态响应

$$C(z) = \frac{C(1)}{R(1)} \cdot \frac{z}{z-1} + \sum_{k=1}^n \frac{C_k z}{z - P_k}$$



➤ 闭环零极点与瞬态响应的关系

1) P_k 为正实根, 对应的瞬态分量

$$c_k(nT) = Z^{-1} \left\{ \frac{C_k z}{z - P_k} \right\} = C_k P_k^n$$

令 $P_k = e^{aT}; a = \frac{1}{T} \ln P_k$

则

$$c_k(nT) = C_k e^{anT}$$

2) 当 P_k 为负实根, 则对应的瞬态分量为

$$c_k(nT) = C_k P_k^n$$

$$c_k(nT) = C_k P_k^n$$

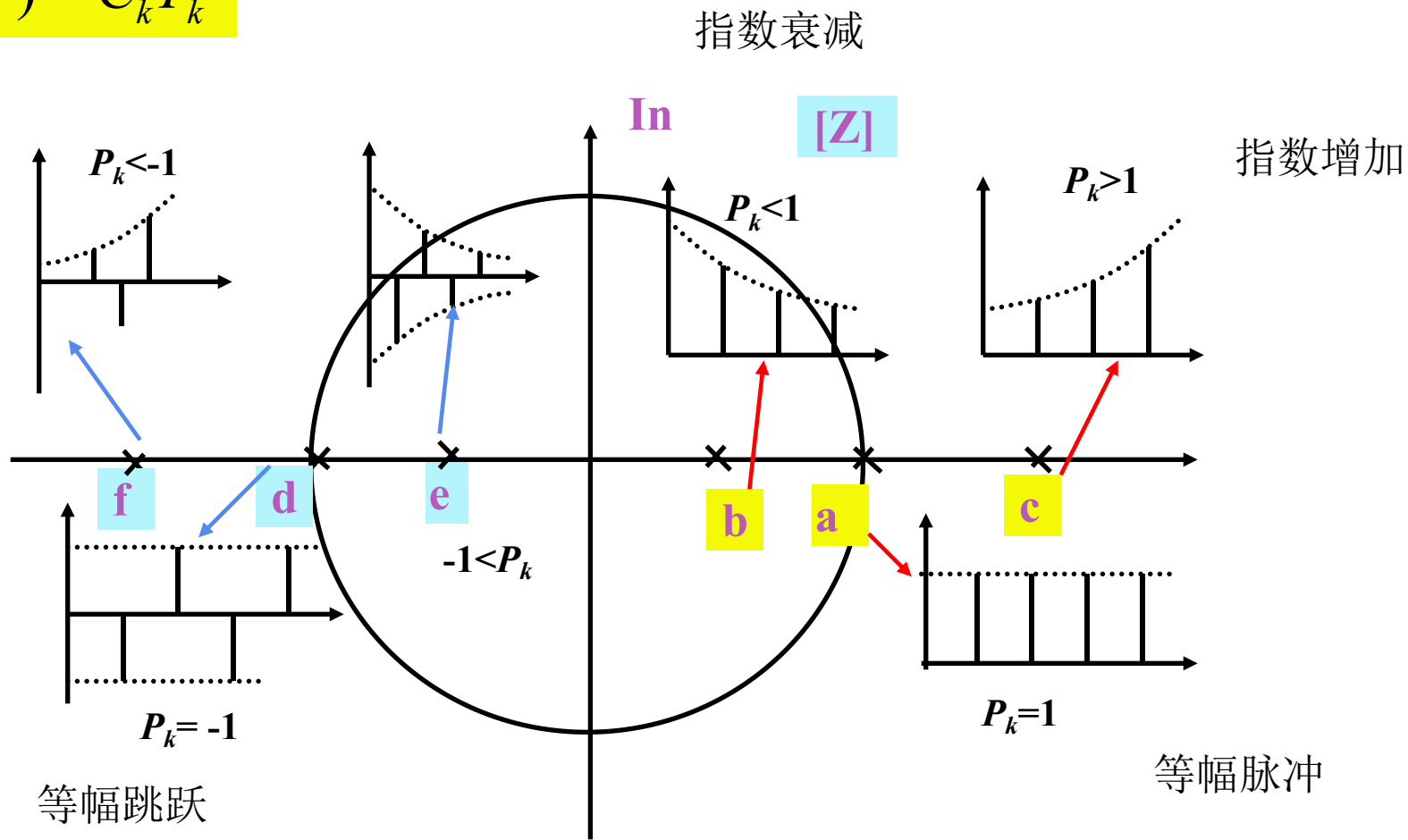
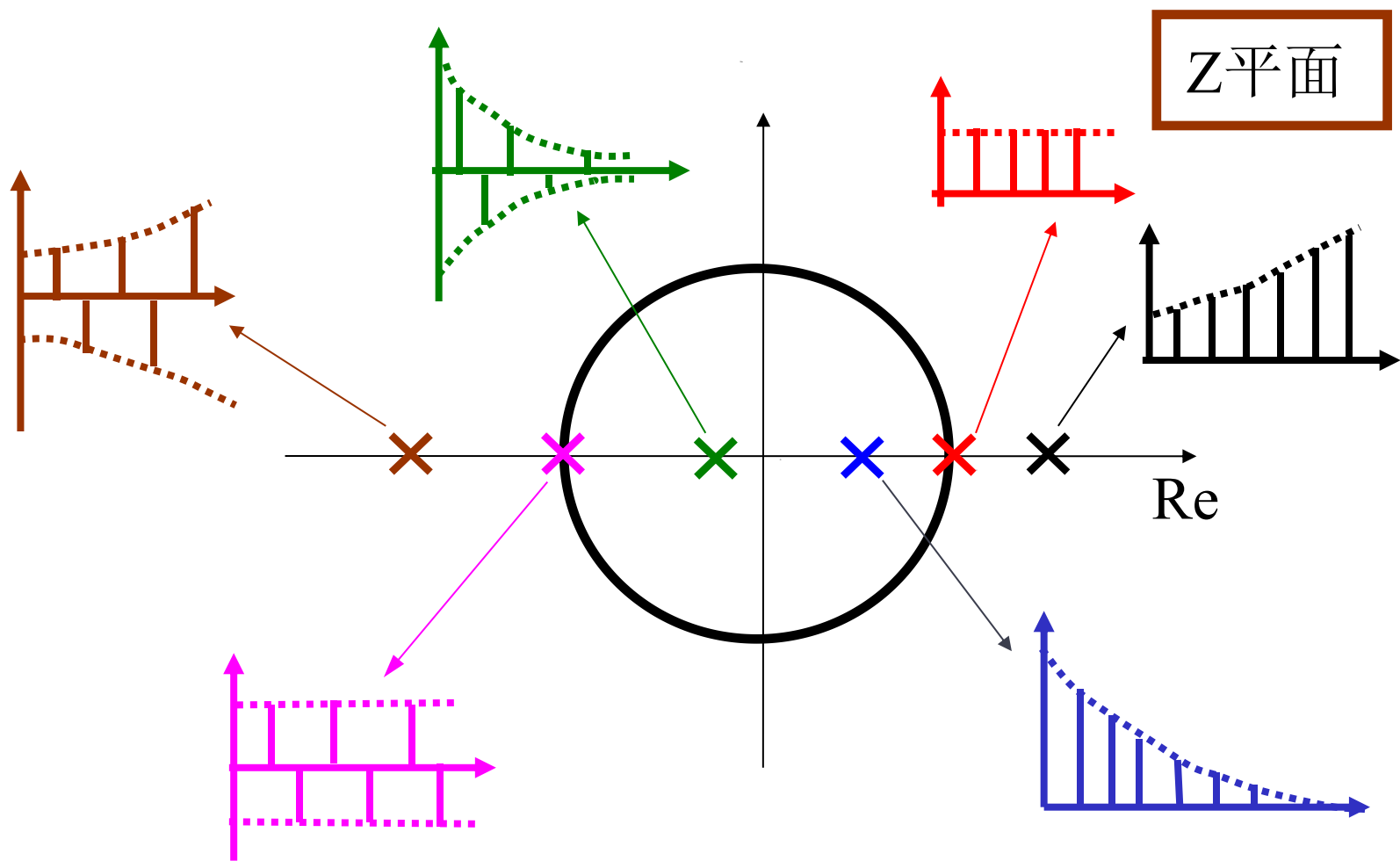


图1 闭环实极点分布与相应瞬态响应





瞬态响应



若 $P_k=1$ ，即闭环极点位于右半Z平面上圆周上，闭环系统瞬态响应 $c_k(nT)$ 为等幅脉冲；对应图1中 a点对应波形。

若 $P_k<1$ ，则闭环极点位于单位圆内，此时 $a<0$ ，则输出响应 $c_k(nT)$ 呈指数衰减状；对应图1中 b点对应波形。

若 $P_k>1$ ，闭环极点位于单位圆外，此时 $a>0$ ，则输出响应 $c_k(nT)$ 呈指数增加状，对应图1中 c点对应波形。

若 $P_k=-1$ ，输出响应分量 $c_k()$ 对应图1中d点波形，呈等幅跳跃输出。

若 $|P_k|<1$ ，输出响应分量 $c_k(NT)$ 对应图1中e点波形。

若 $|P_k|>1$ ，输出响应分量 $c_k(NT)$ 对应图1中f点波形，呈发散跳跃变化。

1、当特征根为正实数时

$$c_i(kT) = c_i p_i^k \quad \left\{ \begin{array}{ll} p_i > 1 & \text{单调发散} \\ 0 < p_i < 1 & \text{单调收敛} \end{array} \right.$$

2、当特征根为负实数时

$$c_i(kT) = c_i p_i^k \quad \left\{ \begin{array}{ll} |p_i| > 1 & \text{交错发散} \\ 0 < |p_i| < 1 & \text{交错收敛} \end{array} \right.$$

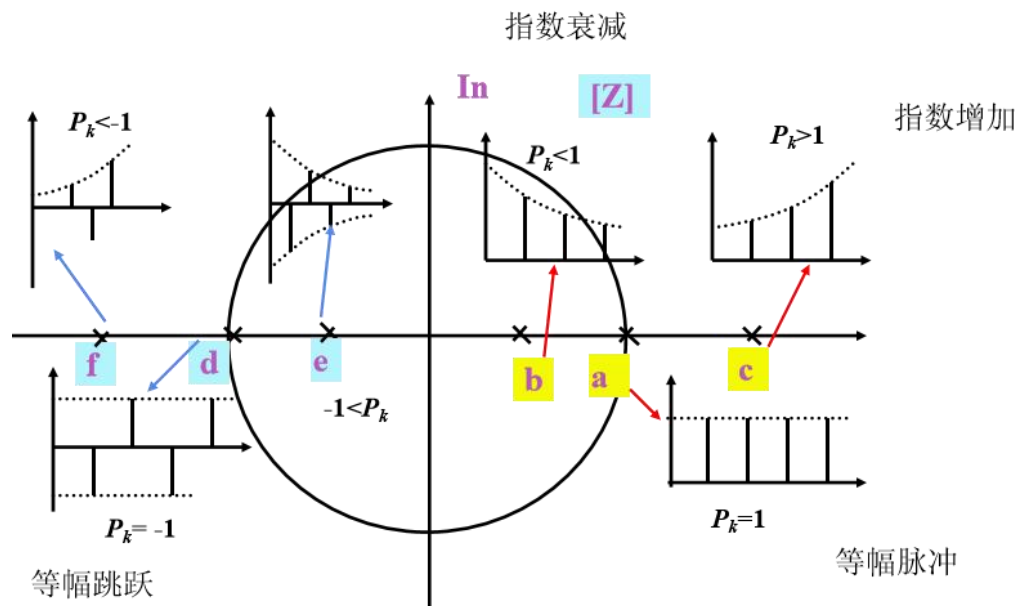
3、当特征根为一对共轭复数

$$p_i = |p_i| e^{j\theta_i} \quad \bar{p}_i = |p_i| e^{-j\theta_i} \quad \left\{ \begin{array}{ll} |p_i| > 1 \\ 0 < |p_i| < 1 \end{array} \right.$$
$$c_i(kT) = 2|c_i||p_i|^k \cos(k\theta_i + \varphi_i)$$

4、 p_i 位于单位圆上，临界稳定。 $p_i = +1$ ，恒值等幅。 $p_i = -1$ ，交错等幅。

5、 p_i 位于圆心，具有无穷大稳定度。

由图可见:



若闭环实数极点位于**右半 z 平面**, 则输出动态响应形式为**单向正脉冲序列**.
实数极点位于单位圆内, 脉冲序列收敛, 且实数极点越接近原点, 收敛越快;
实极点位于单位圆上, 脉冲序列等幅变化;
实极点位于单位圆外, 脉冲序列发散.

若闭环实数极点位于**左半 z 平面**, 则输出动态响应形式为**双向交替脉冲序列**.
实数极点位于单位圆内, 双向脉冲序列收敛;
实极点位于单位圆上, 双向脉冲序列等幅变化;
实极点位于单位圆外, 双向脉冲序列发散.



瞬态响应

$$c_k(nT) = C_k P_k^n$$



3) 当 P_k, P_{k+1} 为一对共轭复根时, 为

$$P_k = |P_k| e^{j\theta_k}$$

与

$$P_{k+1} = |P_k| e^{-j\theta_k}$$

此时, C_k, C_{k+1} 也为一对共轭复数

$$C_k = |C_k| e^{j\phi_k}$$

与

$$C_{k+1} = |C_k| e^{-j\phi_k}$$

则它们对应的瞬态分量 $c_{k,k+1}(nT)$ 为

$$\begin{aligned} c_{k,k+1}(nT) &= |C_k| |P_k|^n e^{j(n\theta_k + \phi_k)} + |C_k| |P_k|^n e^{-j(n\theta_k + \phi_k)} \\ &= 2 |C_k| |P_k|^n \cos(n\theta_k + \phi_k) \end{aligned}$$



瞬态响应

$$c_k(nT) = C_k P_k^n$$

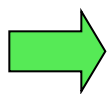


$$\begin{aligned} c_{k,k+1}(nT) &= |C_k| |P_k|^n e^{j(n\theta_k + \phi_k)} + |C_k| |P_k|^n e^{-j(n\theta_k + \phi_k)} \\ &= 2|C_k| |P_k|^n \cos(n\theta_k + \phi_k) \end{aligned}$$

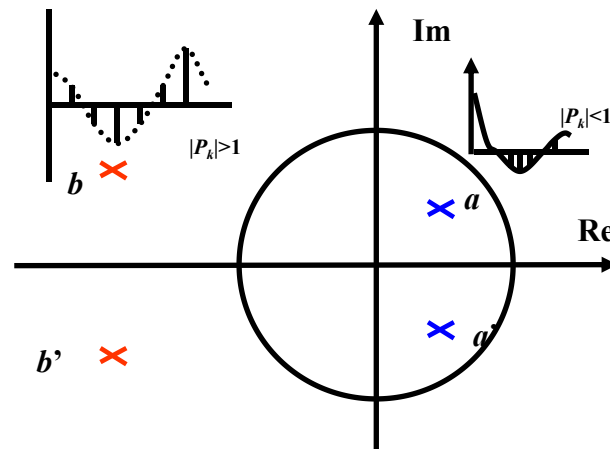
若 $|P_k| < 1$ ，则对应的瞬态响应分量为振幅衰减的正弦振荡，对应图2中a点对应的波形。

若 $|P_k| > 1$ ，则对应的瞬态响应分量为发散正弦振荡，对应图2中b点对应的波形。

$$\text{令 } \theta_k = \omega T$$



$$\omega = \frac{\theta_k}{T}$$



闭环复极点分布与相应瞬态响应

为系统对应瞬态分量的振荡频率，其振荡周期

$$T_d = \frac{2\pi}{\omega} = \frac{2\pi T}{\theta_k}$$



瞬态响应

振荡周期

$$T_d = \frac{2\pi}{\omega} = \frac{2\pi T}{\theta_k}$$

设一个振荡周期中所包含的脉冲个数为 n ，采样周期为 T ，则

$$nT = T_d = \frac{2\pi T}{\theta_k}$$

所以

$$n = \frac{2\pi}{\theta_k}$$

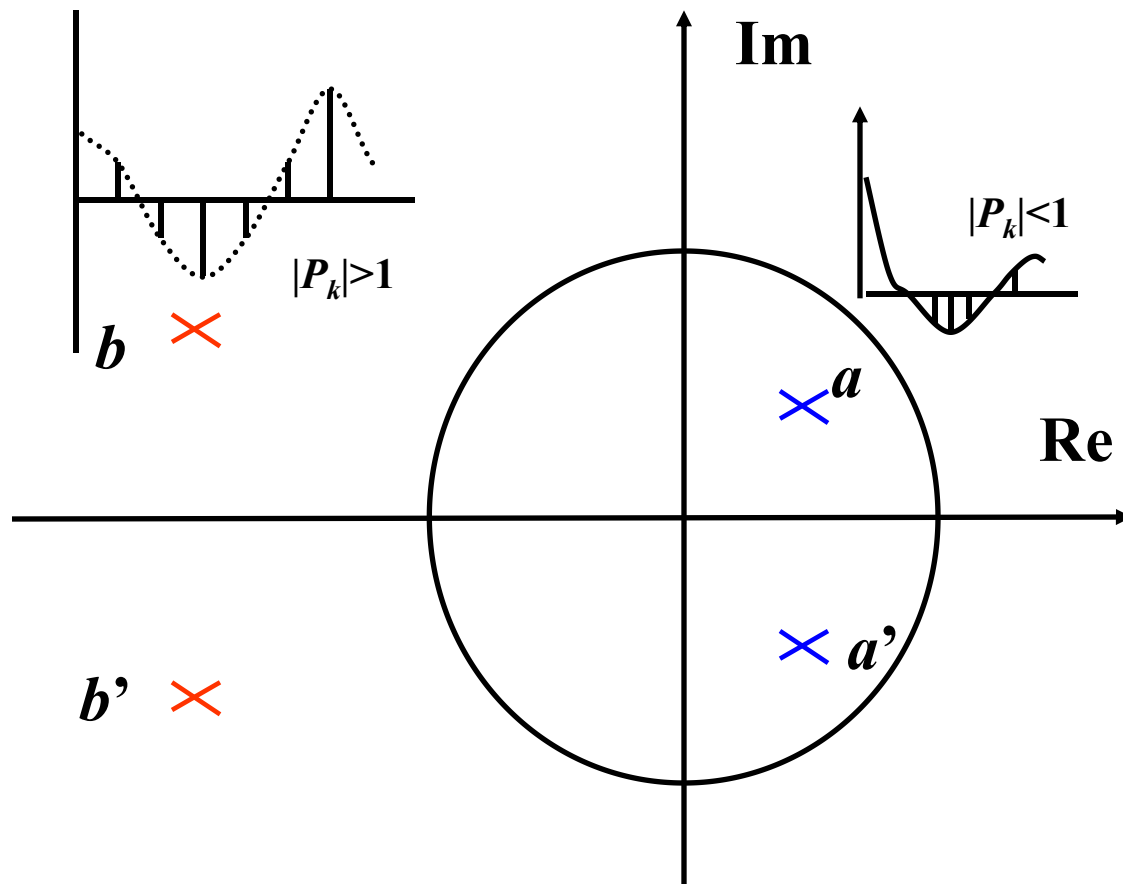


图2 闭环共轭复数极点分布与相应瞬态响应

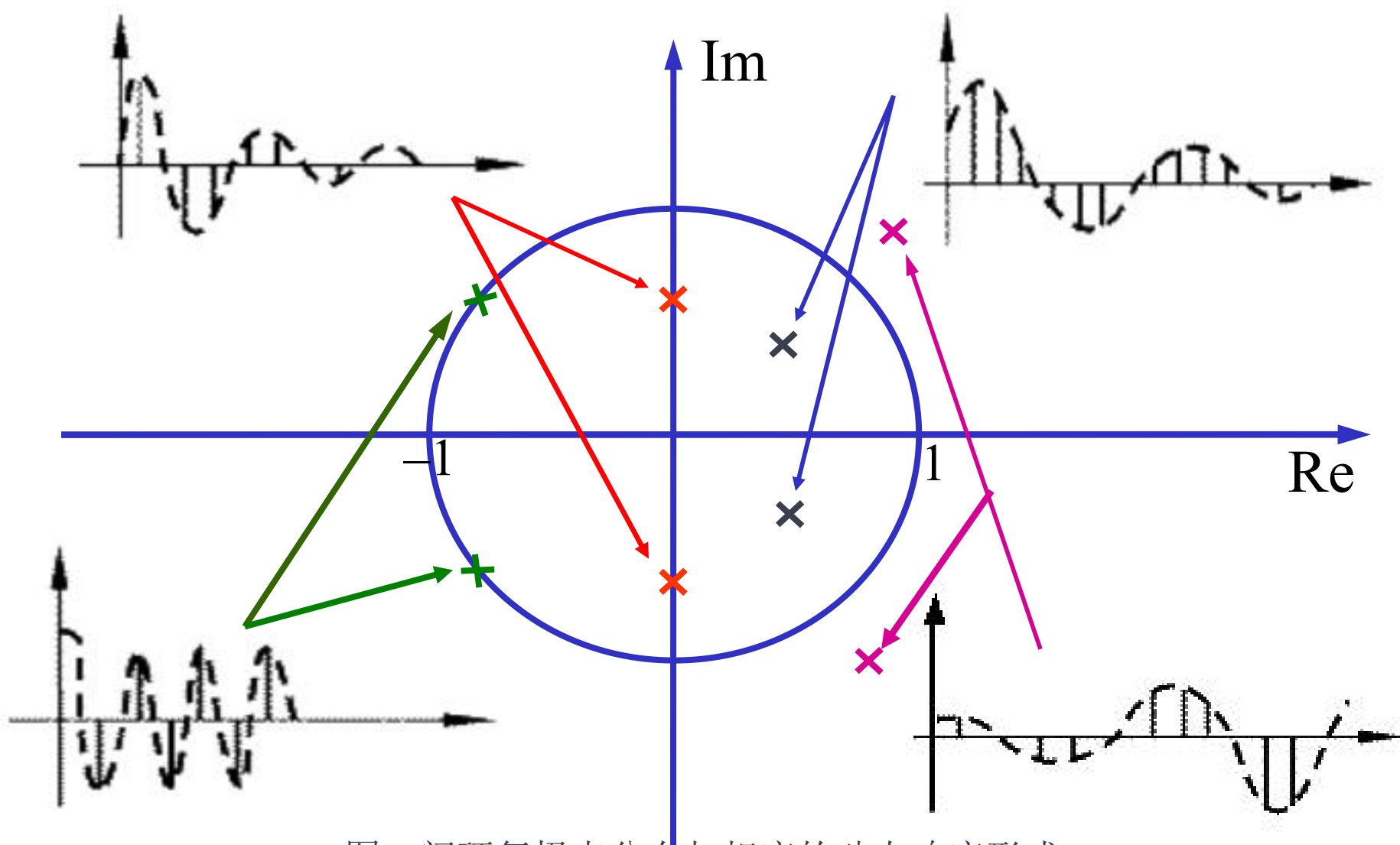


图2 闭环复极点分布与相应的动态响应形式

由图可见:

位于 z 平面上单位圆内的共轭复数极点, 对应输出动态响应的形式为振荡收敛脉冲序列, 但复极点位于左半单位圆内所对应的振荡频率, 要高于右半单位圆内的情况.

- 当闭环复极点位于 z 平面上左半单位圆内时, 由于输出衰减脉冲交替变号, 故动态过程**质量很差**;
- 当闭环复极点位于右半单位圆内时, 由于输出衰减高频振荡, 故动态过程**性能欠佳**.
- 因此, 在离散系统设计时, 应把闭环复极点安置**在 z 平面的右半单位圆内, 且尽量靠近原点**.

当 $\Phi(z)$ 的所有极点均位于原点时, 相应的输出脉冲序列必在有限拍 (即有限个采样周期) 内结束, **这是离散系统特有的现象**



➤ 有限时间响应系统

当**闭环脉冲传递函数所有极点都分布在原点时**，此时的系统具有一个很特别的响应，即在有限时间结束过渡过程，达到稳态，此时的闭环脉冲传递函数具有如下形式

$$G_B(z) = \frac{b_n z^n + b_{n-1} z^{n-1} + \dots + b_1 z + b_0}{a_n z^n} = \frac{b_n}{a_n} + \frac{b_{n-1}}{a_n} z^{-1} + \dots + \frac{b_0}{a_n} z^{-n}$$

其单位脉冲响应

$$h^*(t) = \frac{b_n}{a_n} \delta(t) + \frac{b_{n-1}}{a_n} \delta(t - T) + \dots + \frac{b_0}{a_n} \delta(t - nT)$$

即在单位脉冲作用下，该系统的瞬态响应能在 nT 内结束，即 n 拍可结束过渡过程，这个特点是连续系统所不具备的。

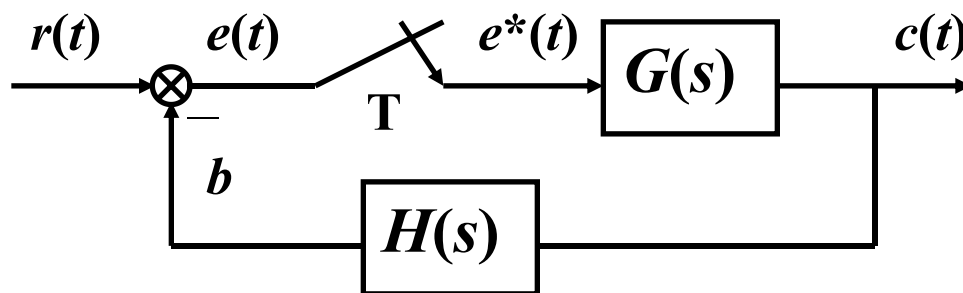


瞬态响应



例7-4-4 采样反馈系统如图所示，其中 $H(s)=1$ ，
采样周期为 $T=1$ ，试求使系统稳定的 K 值范围？

$$G(s) = \frac{K}{s(s+1)}$$



当 $0 < K < 4.2$ ，系统稳定。

例7-4-6 假设例7-4-4 中期望的闭环特征根为 $z=0.368 \pm j0.482$ ，试分析
采样反馈系统的瞬态响应？



瞬态响应

$$z = e^{sT} = e^{-\omega T \text{ctg} \eta + j\omega T} = e^{-\omega T \text{ctg} \eta} \angle \omega T$$

$$\eta = \cos^{-1} \zeta$$

例7-4-6 假设例7-4-4 中期望的闭环特征根为 $z=0.368 \pm j0.482$, 试分析采样反馈系统的瞬态响应?



$$s = -0.5 \pm j0.9187 \quad \zeta = 0.48$$

解: 1) 闭环特征根 $z^* = 0.368 \pm j0.482$, 则

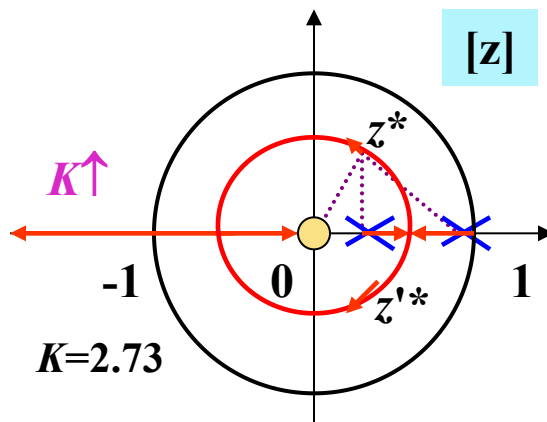
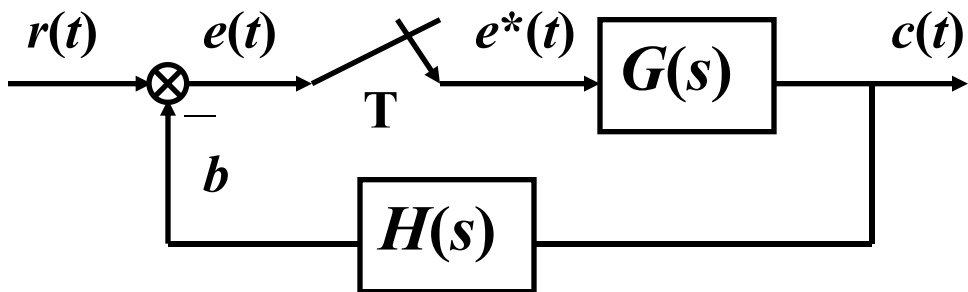
$$K^* = \frac{0.482 \cdot \sqrt{0.482^2 + (1 - 0.368)^2}}{\sqrt{0.368^2 + 0.482^2}} = 0.632 = 0.632K$$

$$GH(z) = \frac{0.632Kz}{(z-1)(z-0.368)}$$

2) 闭环传函

$$\frac{C(z)}{R(z)} = \frac{0.632z}{(z - 0.368 + j0.482)(z - 0.368 - j0.482)}$$

$$G_B = \frac{GH(z)}{1 + GH(z)} = \frac{K^* z}{(z - z^*)(z - z'^*)}$$





例7-4-6 假设例7-4-4 中期望的闭环特征根为 $z=0.368\pm j0.482$, 试分析采样反馈系统的瞬态响应?

解: 3) 对于单位阶跃输入

$$R(z) = \frac{z}{z-1}$$

输出 Z变换表达式 $C(z)$

$$\begin{aligned} C(z) &= \frac{0.632z}{(z^2 - 0.736z + 0.368)} \cdot \frac{z}{z-1} \\ &= 0.632z^{-1} + 1.096z^{-2} + 1.205z^{-3} + 1.12z^{-4} + 1.014z^{-5} + \dots \end{aligned}$$

法1:

$C(z)$ 的逆变换为

$$c(kT) = 0\delta(t) + 0.632\delta(t-T) + 1.096\delta(t-2T) + 1.205\delta(t-3T) + \dots$$

注意: 采样瞬时的 $c(kT)$ 序列为 $C(z)$ 表达式中对应项的系数。



瞬态响应



例7-4-6 假设例7-4-4 中期望的闭环特征根为 $z=0.368\pm j0.482$, 试分析采样反馈系统的瞬态响应?

解: 3) 对于单位阶跃输入

$$R(z) = \frac{z}{z-1}$$

输出 Z变换表达式 $C(z)$

$$C(z) = \frac{0.632z}{(z^2 - 0.736z + 0.368)} \cdot \frac{z}{z-1} \Rightarrow \frac{C(z)}{z} = \frac{1}{z-1} + \frac{-z + 0.368}{(z^2 - 0.736z + 0.368)}$$

法2:

$$C(z) = \frac{z}{z-1} - \frac{z(z - e^{-0.5} \cos 1)}{(z^2 - 2ze^{-0.5} \cos 1 + e^{-1})}$$

$C(z)$ 的逆变换

$$c(kT) = 1 - e^{-0.5kT} \cos kT$$

这种方式称为 **“解析式”** 表达式 (不会引入误差) 。

注意: $C(z)$ 只能表示 $c(t)$ 在 kT 采样时刻的采样值 $c^*(t)$, **不能反映出采样周期之间的信息。**



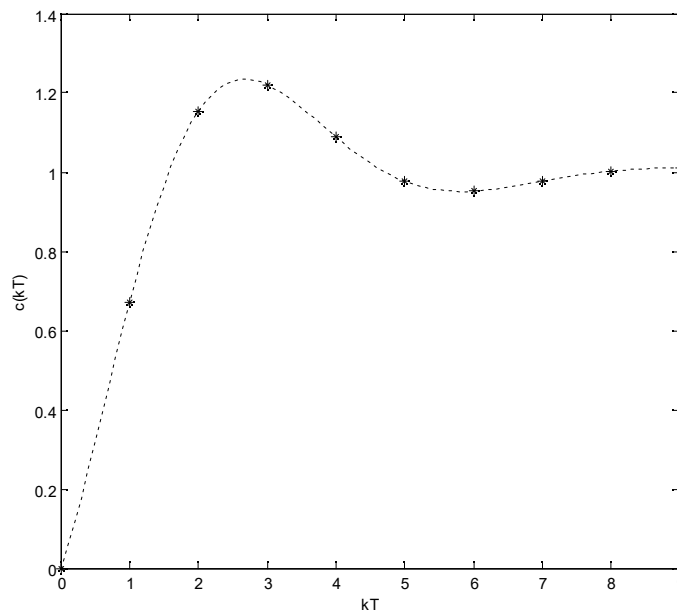
法1的 $C(z)$ 的逆变换是“开放”式

$$c(kT) = 0\delta(t) + 0.632\delta(t-T) + 1.096\delta(t-2T) + 1.205\delta(t-3T) + \dots$$

法2的 $C(z)$ 的逆变换为“解析”式

$$c(kT) = 1 - e^{-0.5kT} \cos kT$$

系统的单位阶跃响应如图。注意：连续的线仅是连接了顶点而已。真实得到的值只有每个采样瞬间才有值。



注意：采样瞬时的 $c(kT)$ 序列为 $C(z)$ 表达式中对应项的系数。



- 连续系统中通常采用的**分析方法**可以同样应用于离散系统，如：根轨迹，瞬态响应等。
- 可以根据期望的阻尼比 ζ 和回复时间 t_s **来选择期望的闭环特征根**。注意 $[s]$ 平面到 $[z]$ 平面的映射关系。
- **注意** $c(kT)$ 或 $c^*(t)$ 序列中的初值和终值。

可以根据期望的阻尼比 ζ 和回复时间 t_s 来选择期望的闭环特征根。



回顾：连续系统

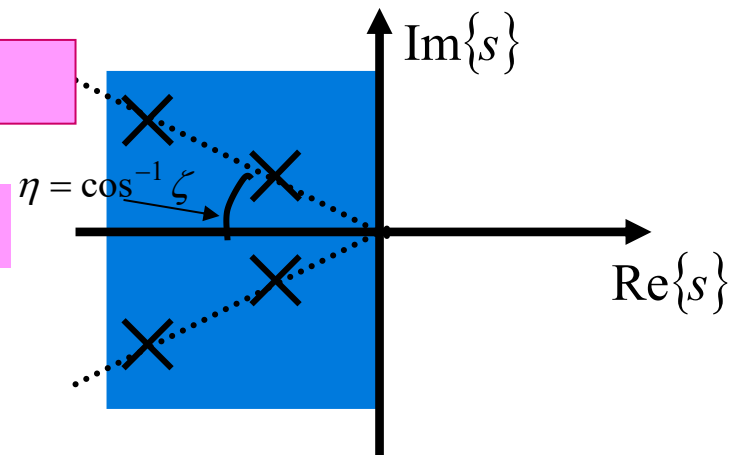


➤ 闭环零极点与瞬态响应的关系，先回忆在连续系统中的重要动态指标

$$M_o = \sigma = \frac{y(T_p) - y_{ss}}{y_{ss}} = e^{-\frac{\zeta\pi}{\sqrt{1-\zeta^2}}}, \quad 0 \leq \zeta < 1$$

等 ζ 线

相同的超调，与阻尼比 ζ 有关



由上式可见，最大百分比超调量完全由 ζ 决定， ζ 越小，超调量越大。

当 $\zeta=0$ 时， $\sigma\%=100\%$ ，当 $\zeta=1$ 时， $\sigma\%=0$ 。



瞬态响应

- 在s平面，定义阻尼比为常数的射线为

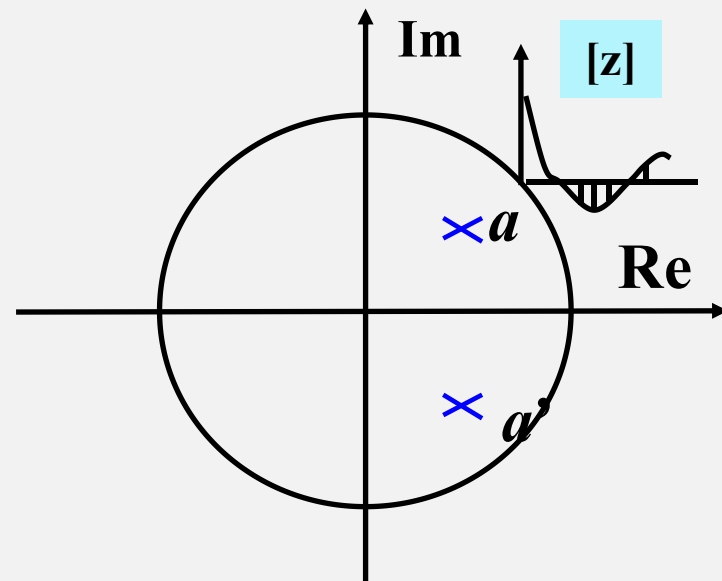
$$s = \sigma + j\omega = -\omega \operatorname{ctg} \eta + j\omega$$

其中 $\eta = \cos^{-1} \zeta$

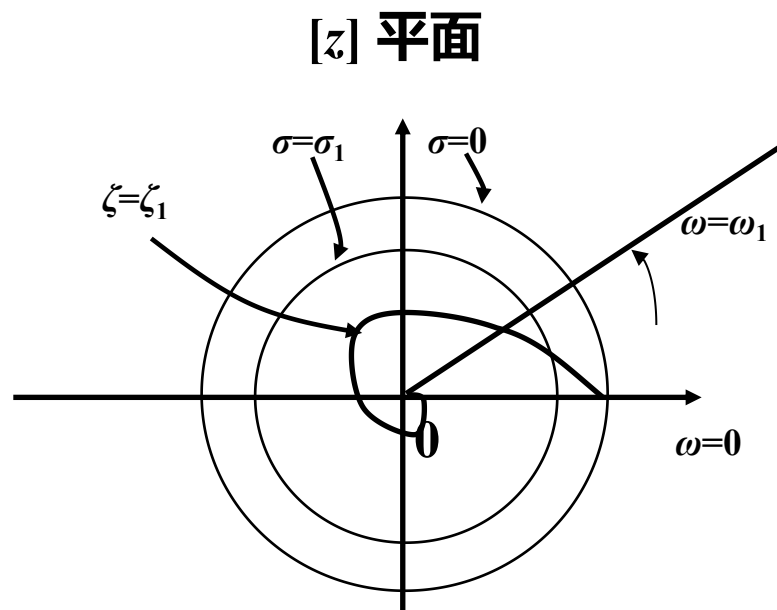
因此

$$z = e^{sT} = e^{-\omega T \operatorname{ctg} \eta + j\omega T} = e^{-\omega T \operatorname{ctg} \eta} \angle \omega T$$

如图所示



闭环复极点分布与相应瞬态响应





离散系统分析



- S域到Z域的映射
- 稳定性
- 稳态误差
- 瞬态响应



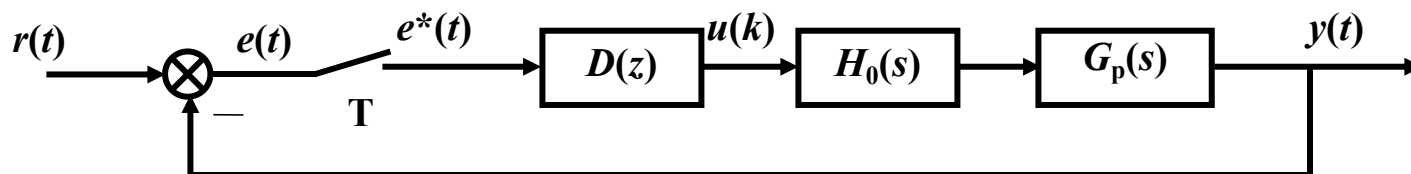
主要内容



- 基本概念
 - 信号的采样与保持
 - Z变换
 - 离散系统的数学模型
 - 离散系统的稳定性与稳态误差
 - 离散系统的动态性能分析
-
- **离散系统的数字校正**



➤ 采样控制系统的常用结构



其中 $D(z)$ 表示数字控制器， $u(k)$ 是离散时间信号， $H_0(s)$ 是零阶保持器。



线性连续系统状态空间模型的离散化



- 离散系统的工作状态可以分为以下两种情况：
 - 整个系统工作于单一的离散状态；
 - 系统工作在连续和离散两种状态的混合状态。

状态方程既有一阶微分方程组又有一阶差分方程组

为了能对这种系统运用离散系统的分析方法和设计方法,
要求**整个系统统一用离散状态方程来描述**。
由此,提出了**连续系统的离散化**问题。



- 模拟化（连续化）设计方法
- 数字化（离散化）设计方法

(1) 模拟化（连续化）设计方法

先设计校正装置的传递函数 $D(s)$ ，然后采用某种离散化方法，将它变成计算机算法。

(2) 数字化（离散化）设计方法

已知被控对象的传递函数或特性 $G(Z)$ ，根据所要求的性能指标，设计数字控制器。



一种离散系统的等效设计方法

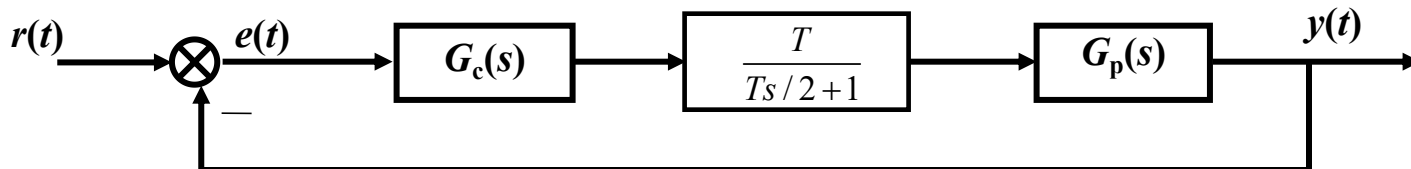
先按连续时间系统的设计方法设计一个模拟的控制器 $G_c(s)$ ，再将其离散化得到数字控制器 $D(z)$

- 设数字控制系统中采用零阶保持器。则由 $\exp(-Ts)$ 的Pade近似

$$e^{-Ts} = \frac{e^{-\frac{T}{2}s}}{e^{\frac{T}{2}s}} \approx \frac{1 - \frac{T}{2}s}{1 + \frac{T}{2}s} = -\frac{s - \frac{2}{T}}{s + \frac{2}{T}}$$

将零阶保持器近似表示为：

$$H_0(s) = \frac{1 - e^{-Ts}}{s} \approx \frac{T}{\frac{T}{2}s + 1} = \frac{2T}{Ts + 2}$$



- 设计出模拟 $G_c(s)$ 后，对其进行离散化。——关键一步



帕德近似 **Pade**近似



- 和泰勒近似一样是一种对任意函数的近似方法。
- 但是和泰勒近似相比，它更加准确。并且当泰勒级数不收敛的时候，它依然是收敛的。

$$f(x) = \frac{a_0 + a_1 x + a_2 x^2 + \cdots + a_n x^n}{b_0 + b_1 x + b_2 x^2 + b_3 x^3 + \cdots + b_m x^m}$$

- 为方便起见，一般设 $b_0=1$
- n 和 m 可以是任意阶数。阶数越高，和原函数越接近。
- 如何计算帕德近似的系数？帕德近似的阶数 n ， m 和泰勒级数 $n+m$ 阶展开相对应。



Padé approximants:

例: 对 $f(x) = e^x$ 用 $P(x) = \frac{a_0 + a_1x + a_2x^2}{1 + b_1x}$ 近似.

$$f(x) = e^x = 1 + x + \frac{x^2}{2} + \frac{x^3}{6} + o(x^4)$$

$$P(x) = \frac{a_0 + a_1x + a_2x^2}{1 + b_1x} = 1 + x + \frac{x^2}{2} + \frac{x^3}{6} + o(x^4)$$

\Rightarrow

$$a_0 + a_1x + a_2x^2 = 1 + (b_1 + 1)x + \left(\frac{1}{2} + b_1\right)x^2 + \left(\frac{1}{6} + \frac{b_1}{2}\right)x^3 + \frac{b_1}{6}x^4 + o$$

$$a_0 = 1$$

$$a_1 = b_1 + 1 \quad a_1 = \frac{2}{3}$$

$$a_2 = \frac{1}{2} + b_1 \quad a_2 = \frac{1}{6}$$

$$0 = \frac{1}{6} + \frac{b_1}{2} \quad b_1 = -\frac{1}{3}$$

$$e^x \approx \frac{\frac{1}{6}x^2 + \frac{2}{3}x + 1}{-\frac{1}{3}x + 1}$$

$$e^{-Ts} = \frac{e^{-\frac{T}{2}s}}{e^{\frac{T}{2}s}} \approx \frac{1 - \frac{T}{2}s}{1 + \frac{T}{2}s} = -\frac{s - \frac{2}{T}}{s + \frac{2}{T}}$$

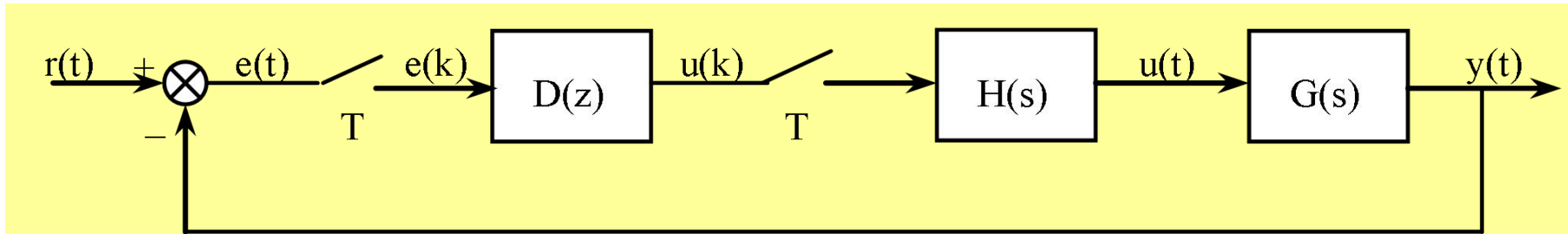


忽略控制回路中所有的零阶保持器和采样器，在S域中按连续系统进行初步设计，求出连续控制器，然后通过某种近似，将连续控制器离散化为数字控制器，并由计算机来实现。

设计步骤

- 设计假想的连续控制器
- 选择采样周期 T
- 将 $D(s)$ 离散化为 $D(z)$
- 设计由计算机实现的控制算法
- 校验

计算机控制系统的结构框图：



这是一个采样系统的框图：**控制器D(Z)**的输入量是偏差，
U(k)是控制量

H(S)是零阶保持器

$$H(s) = \frac{1 - e^{-sT}}{s} \approx \frac{1 - 1 + sT - \frac{(sT)^2}{2} + \dots}{s}$$
$$= T(1 - s\frac{T}{2} + \dots) \approx Te^{-s\frac{T}{2}}$$

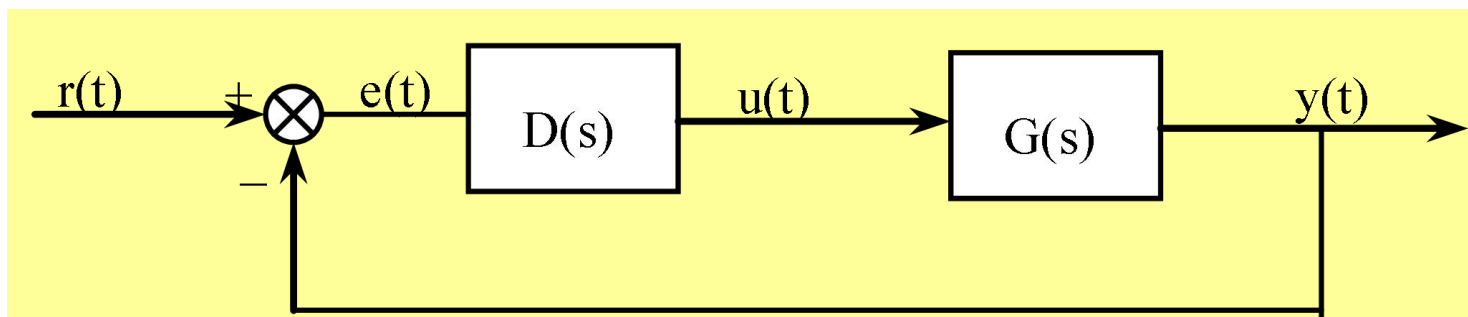
G(S)是被控对象的传递函数



步骤1：假想的连续控制器 $D(S)$



设计的第一步就是找一种近似的结构，来设计一种假想的连续控制器 $D(S)$ ，这时候我们的结构图可以简化为：



已知 $G(S)$ 来求 $D(S)$ 的方法有很多种，比如频率特性法、根轨迹法等。



步骤2：选择采样周期T



香农采样定理给出了从采样信号恢复连续信号的最低采样频率。在计算机控制系统中，完成信号恢复功能一般由零阶保持器H(S)来实现。零阶保持器的传递函数为：

$$H(s) = \frac{1 - e^{-sT}}{s}$$

其频率特性为

$$\begin{aligned} H(j\omega) &= \frac{1 - e^{-j\omega T}}{j\omega} = \frac{2e^{-j\omega T/2}(e^{j\omega T/2} - e^{-j\omega T/2})}{2j\omega} \\ &= T \frac{\sin \frac{\omega T}{2}}{\frac{\omega T}{2}} e^{-j\omega T/2} = T \frac{\sin \frac{\omega T}{2}}{\frac{\omega T}{2}} \angle -\frac{\omega T}{2} \end{aligned}$$

从上式可以看出，零阶保持器将对控制信号产生**附加相移(滞后)**。对于小的采样周期，可把零阶保持器H(S)近似为：

$$H(s) = \frac{1 - e^{-sT}}{s} \approx \frac{1 - 1 + sT - \frac{(sT)^2}{2} + \dots}{s} = T(1 - s\frac{T}{2} + \dots) \approx Te^{-s\frac{T}{2}}$$

$$H(s) = \frac{1 - e^{-sT}}{s} \approx \frac{1 - 1 + sT - \frac{(sT)^2}{2} + \dots}{s} = T(1 - s\frac{T}{2} + \dots) \approx Te^{-s\frac{T}{2}}$$

上式表明，当T很小时，零阶保持器H(S)可用半个采样周期的时间滞后环节来近似。它使得相角滞后了。而在控制理论中，大家都知道，若有滞后的环节，每滞后一段时间，其相位裕量就减少一部分。我们就要把相应减少的相位裕量补偿回来。假定相位裕量可减少 $5^\circ \sim 15^\circ$ ，则采样周期应选为：

$$T \approx (0.15 \sim 0.5) \frac{1}{\omega_c}$$

其中 ω_c 是连续控制系统的**剪切频率**。

按上式的经验法选择的采样周期相当短。**因此，采用连续化设计方法，用数字控制器去近似连续控制器，要有相当短的采样周期。**



3. 将 $D(S)$ 离散化为 $D(Z)$



常用的连续系统离散化方法

- ◆ 前向差分法
- ◆ 后向差分法
- ◆ 零极点匹配法
- ◆ 双线性变换法
- ◆ 冲击响应不变法
- ◆ 零阶保持法



利用级数展开可将 $z=e^{sT}$ 写成以下形式

$$z=e^{sT}=1+sT+\dots\approx 1+sT$$

可得

$$s = \frac{z-1}{T}$$

即给定模拟控制器传递函数 $D(s)$ ，其等效离散传递函数 $D(z)$ 为：

$$D(z) = D(s) \bigg|_{s=\frac{z-1}{T}}$$



法2 (数值微分):

设微分控制规律为

$$u(t) = \frac{de(t)}{dt}$$

两边求拉氏变换后可推导出控制器为

$$D(s) = \frac{U(s)}{E(s)} = s$$

采用前向差分近似可得

$$u(k) \approx \frac{e(k+1) - e(k)}{T}$$

上式两边求Z变换后可推导出数字控制器为

$$D(z) = \frac{U(z)}{E(z)} = \frac{z-1}{T} = D(s) \bigg|_{s=\frac{z-1}{T}}$$

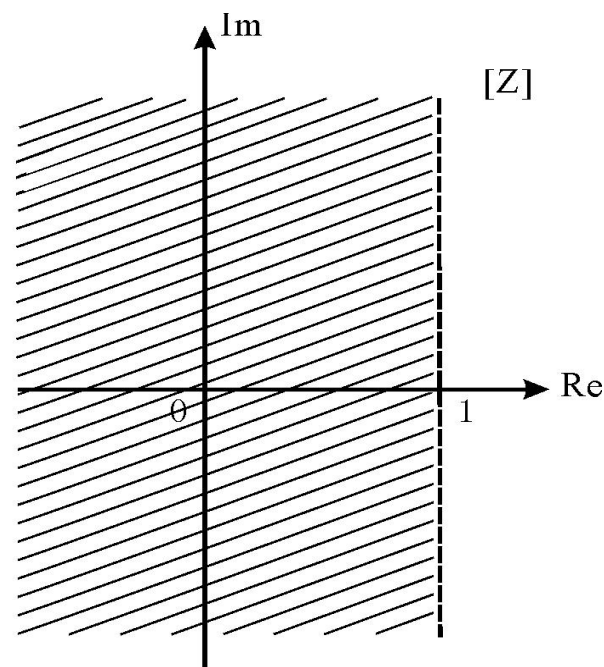
s 平面和 z 平面之间的映射关系

因为 s 平面上的虚轴是稳定与不稳定区域的分界线，所以应着重研究虚轴在 z 平面内的映象。

$$\text{由: } s = \frac{z-1}{T}$$

$$\text{知: } Z = 1 + TS$$

$$\text{令: } s = j\omega$$



即： s 平面上虚轴映射在 z 平面上将右移1个单位。

注意：采用前向差分法离散化， $D(s)$ 稳定， $D(z)$ 不一定稳定。

前向差分法的特点

- a) 直接代换，具有串联性，变换方便；
- b) 整个 s 左半平面映射到 z 平面 $z=1$ 以左的区域，故 $D(s)$ 与 $D(z)$ 不具有相同的稳定性；
- c) 因为 $D(s)|_{s=0} = D(z)|_{z=1}$ ，故稳态增益维持不变；
- d) 当采样周期 T 较小时，等效精度较好。



利用级数展开还可将 $Z=e^{sT}$ 写成以下形式

$$Z = e^{sT} = \frac{1}{e^{-sT}} \approx \frac{1}{1-sT}$$

$$\text{即： } s = \frac{z-1}{Tz}$$

则给定模拟控制器传递函数 $D(s)$ ，其等效离散传递函数 $D(z)$ 为：

$$D(z) = D(s) \bigg|_{s=\frac{z-1}{Tz}}$$

s 平面和 z 平面之间的映射关系、后向差分法的特点？！！



➤ 在工业控制中，最常用的是**PID控制器**。一般教材上即是以数字PID控制器为例。

➤ 标准的模拟PID公式

$$u(t) = K_c \left[e(t) + \frac{1}{T_i} \int_0^t e(t) dt + T_d \frac{de(t)}{dt} \right]$$

在控制器的采样时刻 $t=kT$ 、 $t=(k-1)T$ 时，离散化（后向差分）的数字PID为

$$u(k) = K_c \left\{ e(k) + \frac{T}{T_i} \sum_{j=0}^k e(j) + \frac{T_d}{T} [e(k) - e(k-1)] \right\}$$
$$u(k-1) = K_c \left\{ e(k-1) + \frac{T}{T_i} \sum_{j=0}^{k-1} e(j) + \frac{T_d}{T} [e(k-1) - e(k-2)] \right\}$$

PID的增量公式

$$\Delta u(k) = K_c \left\{ e(k) - e(k-1) + \frac{T}{T_i} e(k) + \frac{T_d}{T} [e(k) - 2e(k-1) + e(k-2)] \right\}$$



极点—零点匹配映射法。

先对 $G_c(s)$ 的分子分母多项式进行**因式分解**。

$G_c(s)$ 中的有限极点与零点 $s=-a$ 映射为 $D(z)$ 中的极点或零点 $z=\exp(-aT)$,

而 $G_c(s)$ 中的无穷远处的零点则映射为 $D(z)$ 中位于-1的零点。

最后确定 $D(z)$ 的增益, 使 $D(z)$ 的增益在某一主频处与 $G_c(s)$ 的增益匹配。

如: $G_c(s)$ 具有低通特性, 则

$$G_c(0) = D(1)$$

一阶补偿器: $G_c(s) = K \frac{s+a}{s+b} \quad \longrightarrow \quad D(z) = C \frac{z-A}{z-B}$

$$A = e^{-aT}$$

$$B = e^{-bT}$$

$$C \frac{1-A}{1-B} = K \frac{a}{b}$$



零极点匹配法的转换规则




$$D(s) = \frac{K \prod_{i=1}^m (s + z_i)}{\prod_{j=1}^n (s + p_j)} \quad \rightarrow \quad D(z) = \frac{\prod_{i=1}^m (z - e^{-z_i T})}{\prod_{j=1}^n (z - e^{-p_j T})} (z + 1)^{n-m} \cdot k$$

令 $z=e^{sT}$, 将 $D(s)$ 离散化为 $D(z)$

当 $n > m$ 时, $(z + 1)^{n-m}$ 对应 s 平面的无穷零点;

比例因子 k 有增益相等确定: $D(s)|_{s=0} = D(z)|_{z=1}$

一阶补偿器: $G_C(s) = K \frac{s+a}{s+b}$  $D(z) = C \frac{z-A}{z-B}$

$$A = e^{-aT}$$

$$B = e^{-bT}$$

$$C \frac{1-A}{1-B} = K \frac{a}{b}$$



●例：采样周期 $T=0.003s$ ，超前补偿器为 $G_C(s) = \frac{5(s+50)}{s+275}$

$$A = e^{-0.15} = 0.86$$

则离散化

$$B = e^{-0.825} = 0.44$$



$$D(z) = \frac{3.66(z-0.86)}{z-0.44}$$

$$C = 3.66$$

得到稳定的离散控制器。

如果采样周期改变，则相应的零极点位置和放大倍数改变。

例1 已知连续传递函数为 $D(s) = \frac{1}{s^2 + \frac{1}{5}s + 1}$

试采用零极点匹配法离散化，设采样周期 $T=1s$ 。

$$D(s) = \frac{K \prod_{i=1}^m (s + z_i)}{\prod_{j=1}^n (s + p_j)} \quad \rightarrow \quad D(z) = \frac{\prod_{i=1}^m (z - e^{-z_i T})}{\prod_{j=1}^n (z - e^{-p_j T})} (z+1)^{n-m} \cdot k$$

解：先将分解为零极点形式 $D(s) = \frac{1}{[s - (-0.1 + j0.995)][s - (-0.1 - j0.995)]}$

因 $T=1s$ ，则 $z_1 = e^{(-0.1+j0.995)T} = 0.493 + j0.759$

$$z_2 = e^{(-0.1-j0.995)T} = 0.493 - j0.759$$

故： $D(z) = \frac{k(z+1)^2}{z^2 - 0.985z + 0.819}$

由： $D(s)|_{s=0} = D(z)|_{z=1}$ 可得 $k = 0.209$

所以： $D(z) = \frac{0.209(z+1)^2}{z^2 - 0.985z + 0.819}$



零极点匹配法特点



$$D(s) = \frac{K \prod_{i=1}^m (s + z_i)}{\prod_{j=1}^n (s + p_j)} \quad \rightarrow \quad D(z) = \frac{\prod_{i=1}^m (z - e^{-z_i T})}{\prod_{j=1}^n (z - e^{-p_j T})} (z + 1)^{n-m} \cdot k$$

- (1) $D(z)$ 和 $D(s)$ 有相同稳定性；
- (2) $D(s)$ 的零、极点均按照 $z=e^{sT}$ 的关系与平面的零、极点一一对应；
- (3) 稳态增益匹配，一般按 $D(s)|_{s=0} = D(z)|_{z=1}$ 关系匹配。



Tustin法（双线性变换法）



$$z = e^{sT} = \frac{e^{\frac{sT}{2}}}{e^{-\frac{sT}{2}}} = \frac{1 + \frac{sT}{2} + \dots}{1 - \frac{sT}{2} + \dots} \approx \frac{1 + \frac{sT}{2}}{1 - \frac{sT}{2}}$$

• 由于 $s \equiv (1/T) \ln z$

$\ln z$ 可展开为: $\ln z = 2(x + \frac{1}{3}x^3 + \frac{1}{5}x^5 + \dots)$

其中 $x = \frac{1 - z^{-1}}{1 + z^{-1}}$



$$s \equiv \frac{2}{T} \frac{1 - z^{-1}}{1 + z^{-1}} = \frac{2}{T} \frac{z - 1}{z + 1}$$



双线性变换也可从数值积分的梯形法对应得到。



几何上，**后向差分法**代表的积分是矩形积分，而这种为**梯形积分**。

$$p(k) - p(k-1) = \int_{(k-1)T}^{kT} x(t) dt \approx \frac{1}{2} [x(kT) + x((k-1)T)] \cdot T$$

$$p(k) \approx p(k-1) + \frac{x(kT) + x((k-1)T)}{2} \cdot T$$

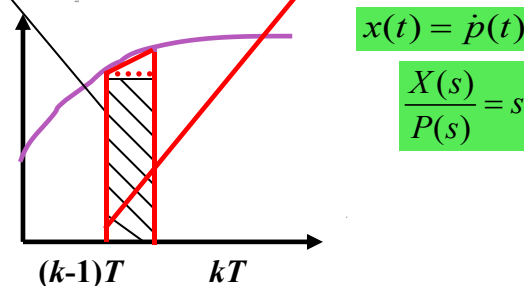
$$p(z) \approx z^{-1} p(z) + \frac{x(z) + z^{-1} x(z)}{2} \cdot T \Rightarrow \frac{P(z)}{X(z)} = \frac{1 + z^{-1}}{1 - z^{-1}} \cdot \frac{T}{2}$$

$$\boxed{\text{以 } \frac{X(z)}{P(z)} \text{ 近似替代 } \frac{X(s)}{P(s)}}$$



$$s = \frac{2}{T} \frac{z-1}{z+1}$$

$$z = \frac{1 + \frac{T}{2}s}{1 - \frac{T}{2}s}$$



该映射也是一种双线性变换。它将 s 左半平面映射到 z 平面单位圆内，所以也能由稳定的连续控制器产生稳定的离散控制器。但瞬态响应和频率响应均有畸变。



- **线性连续系统的时间离散化问题的数学实质,就是在一定的采样方式和保持方式下,由系统的连续状态空间模型来导出等价的离散状态空间模型,并建立起两者的各系数矩阵之间的关系式。**



几种离散化公式的比较



离散化方法	转换公式	稳定性	稳态增益	频率特性	串联性
前向差分法	$s = \frac{z-1}{T}$	$D(s)$ 稳定 $D(z)$ 不一定稳定	维持不变	存在较严重的频率畸变， 但没有频率混叠现象	具有串联性
后向差分法	$s = \frac{z-1}{Tz}$	$D(s)$ 稳定 $D(z)$ 一定稳定	维持不变	存在较严重的频率畸变， 但没有频率混叠现象	具有串联性
双线性变换	$s = \frac{2}{T} \frac{z-1}{z+1}$	$D(s)$ 稳定 $D(z)$ 一定稳定	维持不变	存在频率畸变，但没有频率混叠现象	具有串联性
预修正双线性变换	$s = \frac{\omega_c}{\tan \frac{\omega_c T}{2}} \cdot \frac{z-1}{z+1}$	$D(s)$ 稳定 $D(z)$ 一定稳定	维持不变	存在频率畸变，但没有频率混叠现象，在特征频率 ω_c 处幅频特性保持不变	具有串联性
零极点匹配	$(s+a) \Rightarrow (z-e^{-aT})$	$D(s)$ 稳定 $D(z)$ 一定稳定	需进行稳态增益匹配	变换后频率特性保持较好	具有串联性



- **模拟化设计方法** **模拟化（连续化）设计方法的优点：**
- **数字化设计方法** **有现成的算法和设计方法；**

模拟化（连续化）设计方法的弊端：

要求相当短的采样周期！ 因此只能实现较简单的控制算法。

数字化（离散化）设计方法：从被控对象的特性出发，直接根据计算机控制理论(采样控制理论)来设计数字控制器。

next：最小拍控制系统的设计